

تحلیل جریان‌های گرانشی رسوبی با نگرشی ویژه بر توربیدایت‌ها

رضا بهبهانی

گروه زمین‌شناسی، دانشکده علوم پایه، دانشگاه بوعالی سینا، همدان

* rezabehbahani30@yahoo.com

دریافت: ۹۷/۱۲/۷ پذیرش: ۹۸/۱۰/۲۵

چکیده

جریان‌های گرانشی رسوبی بر اساس ترکیب پنج شاخص غلظت رسوبات، مکانیسم تامین رسوبات، حالت جریان (خطی یا آشفته)، نوع جریان و تغییر شکل آن طبقه‌بندی می‌شوند. این نوع جریان‌ها از سیال‌های نیوتونی (نظیر جریان توربیدایتی) و یا از سیال‌های غیر نیوتونی (نظیر جریان خردبار) تشکیل شده است. با این وجود، شناسایی نوع و تغییر شکل جریان توسط بررسی نهشته‌های آن‌ها به راحتی امکان‌پذیر نیست. اگرچه با قطعیت برخی سنگ‌ها جز توربیدایت‌ها و برخی دیگر جز دیریت‌ها (نهشته‌های خردبار) طبقه‌بندی می‌شوند، حالت حد واسطه از این نوع سنگ‌ها تحت عنوان دنسیت‌ها (نهشته‌های جریان متراکم) نیز وجود دارد. دنسیت‌ها ویژگی‌های دوگانه توربیدایت‌ها و دیریت‌ها را از خود نشان می‌دهند. دنسیت‌ها دارای حالت ترکیبی سیال‌های نیوتونی و غیرنیوتونی هستند. واژه گراویت برای تمام نهشته‌های گرانشی رسوبی بدون در نظر گرفتن محیط رسوبی شان به کار برده می‌شود. امروزه، جریان‌های توربیدایتی برای جریان‌های گرانشی رسوبی نیوتونی به کار گرفته می‌شود. این نوع جریان‌های نیوتونی برخلاف سایر جریان‌ها به علت سقوط و رسوب متفاوت درات از بخش تحتانی تا بخش فوقانی رسوبات دارای دانه‌بندی تدریجی می‌باشد (نظیر توالی بوما). سیستم‌های توربیدایتی بر مبنای اندازه ذرات (غنى از گل، غنى از گل/ماسه، غنى از ماسه و غنى از گراول)، ترکیب رسوب (توربیدایت آهکی و توربیدایت آواری) و سیستم تغذیه‌کننده (مخروط زیردریایی با منشا نقطه‌ای، رمپ با منشا چندگانه و پیشانی شیب با منشا خطی) طبقه‌بندی می‌شوند. سیستم‌های توربیدایتی غنى از گل دانه‌بیز عمدتاً در حوضه‌های با ورودی رودخانه‌ای بزرگ ایجاد می‌شوند. می‌توان از نهشته‌های توربیدایتی آهکی در ایران از سازنده‌های پابده و سروک (حوضه زاگرس) و توربیدایت‌های آواری از بخش آواری سازند امیران و نهشته‌های آواری میوسن نام برد.

واژه‌های کلیدی: جریان‌های گرانشی رسوبی، توربیدایت، دنسیت، دیریت، گراویت

جریان‌های گرانشی رسوبی نقش مهمی را در انتقال و نهشته شدن رسوبات در محیط‌های با شیب تند در خشکی (نظیر مخروط‌افکنه) و محیط‌های رسوبی آب‌های ژرف^۳ ایفا می‌کنند. این جریان‌ها به عنوان یک مخلوط کامل از رسوبات و سیال‌های آبی تعریف می‌شوند که در اثر عملکرد نیروی گرانشی به سمت پایین دست شیب جریان می‌یابند (گانی، ۲۰۰۳).

۱- پیشگفتار

بررسی نهشته‌های جریان‌های گرانشی خصوصاً جریان‌های توربیدایتی از دیرباز مورد توجه بسیاری از پژوهش‌گران علوم زمین بوده است (جدول ۱). بیش از چند دهه از پژوهش‌های علمی بر روی این نوع نهشته‌ها در کشور ما نمی‌گذرد. به همین دلیل یافتن منابع علمی مرتبط با این موضوع برای پژوهش‌گران جوان گاهی دشوار است. با توجه به تقاضای روزافزون جامعه علمی کشور در این پژوهش مروری، جریان‌های گرانشی رسوبی^۱ با نگرشی ویژه بر جریان‌های توربیدایتی^۲ (نهشته‌های توربیدایتی)، مکانیسم تشکیل، پارامترهای گوناگون در طبقه‌بندی آن‌ها و ویژگی‌های تشخیصی شان مورد بحث قرار می‌گیرند.

۲- پارامترهای گوناگون در طبقه‌بندی جریان‌های گرانشی رسوبی
تعاریف اولیه از جریان‌های توربیدایتی و جریان‌های خردبار سیار توصیفی و با نگرشی ویژه بر ویژگی‌های فیزیکی جریان‌ها هستند. پژوهشگران گوناگون، پارامترهای متفاوتی را در طبقه‌بندی جریان‌های گرانشی

^۱ Deep-water environments

^۲ Sediment gravity flows

^۳ Turbidity currents

بین تنش برشی^{۱۰} و نرخ واتنش^{۱۱} توسعه یابد، این سیال نیوتونی نامیده می‌شود (گانی، ۲۰۰۳). هر گونه انحراف از این ویژگی‌ها سبب بوجود آمدن سیال غیرنیوتونی می‌گردد. جریان‌های گرانشی رسوبی می‌توانند دو حالت غیرنیوتونی را از خود نشان دهند (شکل ۱). در پلاستیک بینگهام غیرنیوتونی^{۱۲}، مقدار بحرانی تنش برشی (تنش تسلیم^{۱۳}) قبل از هرگونه تغییر شکل و بعد از تغییر شکل خطی قطع می‌شود (نظیر یک پلاستیک بینگهام که ترکیبی از یک پلاستیک ایده‌آل و یک سیال نیوتونی است) (گانی، ۲۰۰۳). در یک سیال رقیق‌شده غیر نیوتونی، مقاومت تسلیم^{۱۴} وجود ندارد، اما تغییر شکل غیر خطی است (شکل ۱) (گانی، ۲۰۰۳). با کاربردی کردن مفاهیم ذکر شده بالا، جریان‌های گرانشی رسوبی با حالت نیوتونی جریان‌های توربیدیاتی نامیده می‌شوند، در حالی که با حالت غیر نیوتونی جریان‌های خرددار^{۱۵} نامیده می‌شوند (شکل ۱). همچنین جریان‌های خرددار به دو رده جریان‌های خرددار چسبنده^{۱۶} (پلاستیک بینگهام غیرنیوتونی) و جریان‌های خرددار غیرچسبنده^{۱۷} (سیال‌های رقیق‌شده غیرنیوتونی) تقسیم می‌شوند (گانی، ۲۰۰۳). چسبنده‌گی جریان‌های خرددار عمدتاً بستگی به غلظت رس موجود در جریان دارد. اگر چه برخی از پژوهشگران (همپتون، ۱۹۷۵؛ باس و بست، ۲۰۰۲) نشان دادند که ۲ تا ۴ درصد حجمی رس می‌تواند بوجود آورنده مقاومت تسلیم در جریان‌ها باشد، اما به نظر می‌رسد که پژوهش‌های بیشتری برای مشخص کردن این موضوع لازم است. تاکنون تعداد اندکی از مدل‌های عددی و تجربی از جریان‌های گرانشی رسوبی رقیق‌شده غیرنیوتونی (نظیر جریان‌های دانه‌ای^{۱۸}) و رسوبات آن‌ها ارائه شده است. به نظر می‌رسد که هنوز در شناخت تکامل جریان‌های گرانشی رسوبی بین پژوهشگران مختلف اختلاف نظر وجود دارد. تشخیص نوع جریان‌ها در آزمایشگاه امری آسان است، اما تفسیر نوع و تغییر شکل جریان موثر در یک رسوب بوسیله بررسی ویژگی‌های رسوبی چالش برانگیز است.

رسوبی به کار گرفته‌اند که برخی از آن‌ها عبارتند از: شاخص باگنولد (بوما، ۱۹۶۲)، غلظت رسوب (داد، ۱۹۶۳)، نوع جریان و تغییر شکل ماده (سندرس، ۱۹۶۵)، آشفتگی سیال (میدلتون و هامپتون، ۱۹۷۳)، مکانیسم فراوانی رسوب (لاو، ۱۹۸۲)، ترکیب نوع جریان، تغییر شکل ماده و مکانیسم فراوانی رسوب (مولدر و اکساندر، ۲۰۰۱). از میان چهار شاخص مهم (غلظت رسوب، مکانیسم فراوانی رسوب، حالت جریان، نوع جریان و تغییر شکل ماده) در جریان‌های گرانشی رسوبی، غلظت رسوب سه شاخص دیگر را مستقیماً تحت تاثیر قرار می‌دهد. بنابراین، غلظت رسوب شاخص بسیار مهمی برای مشخص کردن انواع گوناگون این جریان‌ها می‌باشد. متاسفانه، مقادیر آستانه و جداکننده^۹ برای انواع گوناگون جریان‌های گرانشی رسوبی به دلیل اندازه گوناگون ذرات و غلظت کانی‌های رسی، متغیر و غیر کاربردی هستند (شانموگام، ۱۹۹۶ و ۲۰۱۲). مکانیسم فراوانی رسوبات شامل قوام ماتریکس^{۱۰}، فشار پراکنده کننده دانه^{۱۱}، فرار سیال درون حفره^{۱۲} و آشفتگی سیال^{۱۳} هستند. این مکانیسم‌ها به طور تدریجی با افزایش محتوى سیال می‌توانند تغییر کنند و بیش از یک مکانیسم می‌تواند در یک نوع جریان گرانشی رسوبی عمل کند. به طور مشابهی، حالت جریان نیز می‌تواند به طور تدریجی تغییر کند و بین حالت خطی و آشفتگی با تغییر در غلظت رسوب یا تغییر در شبیب حوضه در نوسان باشد (گانی، ۲۰۰۳).

-۳- طبقه‌بندی انواع جریان‌های گرانشی رسوبی

در شکل ۱ نوع جریان و تغییر شکل آن^۹ برای جریان‌های گرانشی رسوبی به صورت دو بعدی آورده شده است. نوع و تغییر شکل جریان می‌تواند به عنوان یک پارامتر با کمترین ابهام برای تعریف انواع گوناگون جریان‌های گرانشی رسوبی به کار برد شود. بر اساس این شکل، دو نوع اساسی جریان‌های گرانشی رسوبی نیوتونی و غیرنیوتونی وجود دارد. اگر این جریان به طور پیوسته با اعمال نیرو و تنش تغییر شکل یابد و یک ارتباط خطی

¹⁰ Shear stress

¹¹ Strain rate

¹² Non-newtonian bingham plastic

¹³ Yield stress

¹⁴ Yield strength

¹⁵ Debris flows

¹⁶ Cohesive debris flows

¹⁷ Non-cohesive debris flows

¹⁸ Grain flows

⁴ Threshold values

⁵ Matrix strength

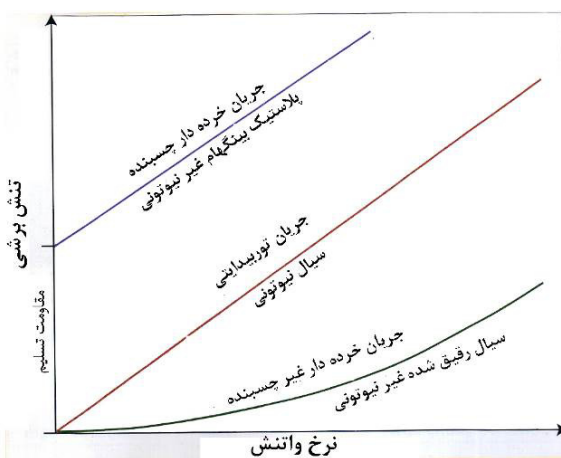
⁶ Dispersive grain pressure

⁷ Escaping pore fluid

⁸ Fluid turbulence

⁹ Rheology

نوبسنده / نوبسندگان	محور اصلی پژوهش	نوبسنده / نوبسندگان	محور اصلی پژوهش
کانتالزو و پیکرینگ، ۲۰۱۴: توربیدایت‌های دانه‌ریز-سیار دانه‌ریز ریچمر و همکاران، ۲۰۱۴: مقایسه کلسوی توربیدایتها و کلسوی دریت‌ها نیمسی و همکاران، ۱۳۹۲: شواهد رسوبات توربیدایتی در رسوبات آواری-کربناته سازند امیران	آبتو، ۲۰۱۹: بررسی منشا نهشته‌های جریان گرانشی درشت‌دانه آلوارز و همکاران، ۲۰۱۹: ساختارها و نهشته‌های گرانشی ناشی از فروپاش شیب در حاشیه پلت فرم کربناته فن و همکاران، ۲۰۱۸: طبقه‌بندی نهشته‌های جریان‌های گرانشی و اهمیت آن‌ها در اکتشافات نفتی راگوسا و کیندلر، ۲۰۱۸: تغییرات ترکیبی در نهشته‌های جریان‌های گرانشی محسنی و جوانمرد، ۱۳۹۶: شواهد رسوبات توربیدایتی در سازند سروک	ایتو، ۲۰۱۹: سراوانی و همکاران، ۲۰۱۱: شواهد رسوبات توربیدایتی در سازند پابده بهبهانی و همکاران، ۱۳۹۰: شواهد رسوبات توفانی و توربیدایتی در سازند پابده هوریکاوا و ایتو، ۲۰۰۵: شواهد رسوبات توربیدایتی گرون، ۲۰۰۸: منشا کلسوی دریت‌ها پیکرینگ و کارجیدور، ۲۰۰۵: تاثیر زمین‌ساخت بر جریان‌های گرانشی ساواری و فرای، ۲۰۰۴: شکل هندسی و شاخص‌های پتروفیزیکی توربیدایت‌های کالک‌آرایتی	یانگ و همکاران، ۲۰۱۷: رخساره‌های سنگی و منشا نهشته‌های جریانی گرانشی گلی کرلا و همکاران، ۲۰۱۶: تاثیر توربیدایتها و نهشته‌های گرانشی در شکل‌دادن کانال‌های آب ژرف دریاچه‌ای مدرن زوالا و آرکوری، ۲۰۱۶: منشا و ویژگی‌های متمایز‌کننده توربیدایت‌های درون و برون - حوضه‌ای غلامی‌زاده و همکاران، ۱۳۹۵: شواهد جریان‌های توربیدایتی در نهشته‌های آواری میوسن در گستره نیریز لیو و همکاران، ۲۰۱۵: ویژگی‌های رسوبی و مدل رخساره‌ای نهشته‌های جریان گرانشی عبدی و همکاران، ۲۰۱۴: شواهد رسوبات توفانی و توربیدایتی در سنگ‌آهک‌های بیستون



شکل ۱. انواع جریان و تغییرشکل در جریان‌های گرانشی رسوبی. بر اساس این نمودار، جریان‌های توربیدایتی جز سیال‌های نیوتونی هستند، در حالی که جریان‌های خرددار به دو دسته پلاستیک بین‌گهایم غیرنیوتونی (جریان‌های خرددار چسبنده نظری جریان‌های گلی) با یک مقاومت تسلیم قطعی یا سیال‌های رقیق شده غیرنیوتونی (جریان‌های خرددار غیرچسبنده نظری جریان دانه‌ای) بدون مقاومت تسلیم طبقه‌بندی می‌شوند (گانی، ۲۰۰۳).

برای این رسوبات و سنگ‌ها مورد استفاده قرار گرفته‌اند (باس و بست، ۲۰۰۲). اکثر این رسوبات از جریان‌های گرانشی رسوبی لایه‌گون^۵ با یک زون تحتانی از سیالات رقیق شده غیرنیوتونی (جریان خرددار غیرچسبنده) و یک زون فوقانی از سیال نیوتونی (جریان توربیدایتی) منشا می‌گیرند (تبنتری و همکاران، ۲۰۰۳). به دلیل این‌که این نوع از جریان می‌تواند به طور متناوب به دو جریان اصلی دیگر تبدیل شود و طبقات رسوبی حادثه‌ای

نهشته‌های جریان‌های گرانشی رسوبی که دارای ویژگی‌های دوگانه توربیدایتها و دریت‌ها (رسوبات جریان‌های خرددار) هستند، وجود دارند. این رسوبات دوگانه و هیبریدی همواره با شک و تردید مورد بررسی قرار گرفته‌اند. مجموعه‌ای از واژه‌ها (نظری جریان‌های توربیدایتی با چگالی بالا^۱، جریان‌های خرددار ماسه‌ای^۲، جریان‌های رقیق^۳ و جریان‌های چگال با غلظت بالا^۴)

¹ High density turbidity currents

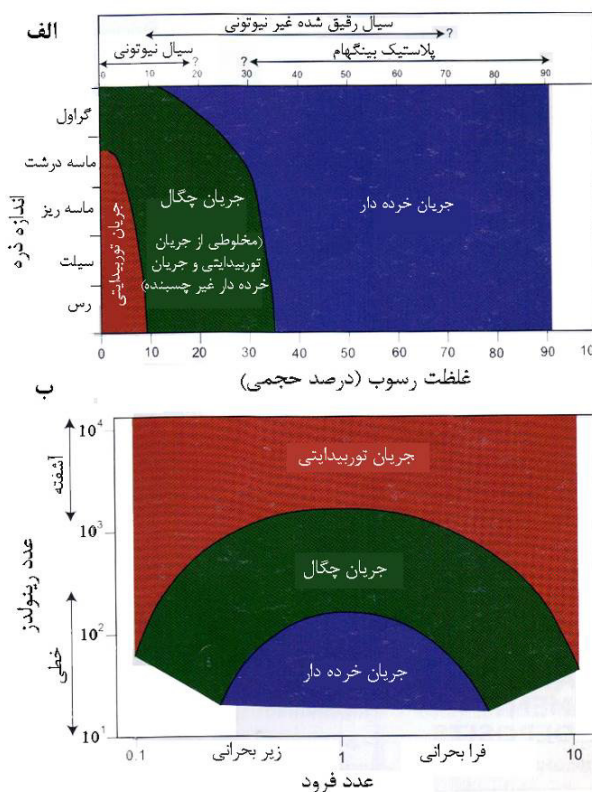
² Sandy debris flows

³ Slurry flows

⁴ Concentrated density flows

رسوبات که بر اساس اندازه ذرات متغیر هستند، برای جریان‌های توربیدیاتی، چگال و خرده‌دار پیشنهاد می‌شود (شکل ۲ الف). به طور کلی، با افزایش غلظت رسوبات، یک جریان توربیدیاتی می‌تواند به یک جریان چگال و سپس به یک جریان خرده‌دار تبدیل شود. بسته به اعداد فروود^۳، این سه جریان می‌توانند هم به صورت آشفته^۴ و هم به صورت خطی^۵ وجود داشته باشند (شکل ۲ ب). با این وجود، اکثر جریان‌های توربیدیاتی به صورت آشفته و جریان‌های خرده‌دار خطی هستند (گانی، ۲۰۰۳).

منفرد^۱ را بوجود آورد، یک نام مجزا برای این نوع جریان و رسوبات آن به عنوان جریان‌های چگال^۲ در نظر گرفته می‌شود (آلن، ۱۹۹۷). این نوع جریان یک چگالی متوسط (به علت غلظت متوسط رسوبات) بین جریان‌های توربیدیاتی و جریان‌های خرده‌دار را نشان می‌دهند و رسوبات آن‌ها به عنوان دنسیت در نظر گرفته می‌شوند (شکل ۲ الف). همانطور که پیش‌تر ذکر شده است، هیچ گونه مقادیر آستانه‌ای از غلظت رسوبات (بر اساس درصد حجمی) برای تفکیک و تمایز انواع جریان‌های گرانشی رسوبی وجود ندارد. یک محدوده‌ای از مقادیر غلظت



شکل ۲. توزیع انواع متفاوت جریان‌های گرانشی رسوبی در نمودار دو بعدی غلظت رسوب در مقابل اندازه ذرات (شکل الف) و عدد رینولدز در مقابل عدد فروود (شکل ب) (آلن، ۱۹۹۷). لازم به ذکر است که جریان‌های چگال (جریان‌های گرانشی رسوبی لایه‌گون) در بین جریان‌های توربیدیاتی و خرده‌دار قرار می‌گیرند.

ریزش‌ها^۶ بوجود می‌آیند، این نوع از فرایندها در بخش تحتانی جدول ۲ اضافه شده است. همچنین این طبقه‌بندی، مکانیسم غالب تامین رسوب و حالت جریان را برای هر کدام از انواع جریان‌ها بیان می‌کند (گانی، ۲۰۰۳).

بر اساس نوع و تغییر شکل جریان و اضافه کردن مفهوم جریان‌های چگال، یک طبقه‌بندی ساده از جریان‌های گرانشی رسوبی در جدول ۲ آورده شده است. به علت این‌که اکثر جریان‌های گرانشی رسوبی از لغزش‌ها^۷ و

¹ Single event sedimentary beds

² Dense flows

³ Froude numbers

⁴ Turbulent

⁵ Laminar

⁶ Slumps

جدول ۲. طبقه‌بندی جریان‌های گرانشی رسوبی با یک نام‌گذاری ساده برای انواع جریان و رسوبات آن‌ها (گانی، ۲۰۰۳؛ مولدر و همکاران، ۲۰۰۳).

	نوع جریان و تغییر شکل آن	نوع جریان	رسوبات	مکانیسم‌های غالب تامین رسوب
از پایین به بالا افزایش محتوای سیال	نیوتونی	جریان توربیدایتی (غالباً "آشفته")	توربیدایت	آشفتنگی سیال
	متغیر (بخشی غیر نیوتونی و بخشی از آن نیوتونی)	جریان چگال (بخشی آشفته و بخشی از آن خطی)	دنسیت	فشار پراکنده کننده دانه، آشفتنگی سیال، فرار سیال درون حفره و مقاومت ماتریکس
	رقیق‌شده غیر نیوتونی	جریان خرددار (غالباً خطی)	دبربیت	فشار پراکنده کننده دانه
	پلاستیک بین‌گهایم	جریان خرددار چسبنده		مقاومت ماتریکس
	پلاستیک بین‌گهایم	ریزش و لغزش	رسوبات ریزشی و لغزشی	مقاومت ماتریکس

گرانشی رسوبی را مستقل از محیط رسوبی (حتی رسوبات لغزشی و ریزشی) فرا می‌گیرد. عدم استفاده از این واژه سبب استفاده از واژه توربیدایت^۳ (جریان توربیدایتی یکی از انواع جریان‌های گرانشی رسوبی است) در متون زمین‌شناسی می‌گردد. به عنوان مثال، اگرچه مخروطهای زیردریایی^۴ شامل انواع گوناگونی از رسوبات جریان‌های گرانشی رسوبی هستند، واژه سیستم‌های توربیدایتی به طور بسیار نابجایی در این گونه مخروطها استفاده می‌گردد (بوما و استون، ۲۰۰۰). زمانی که تشخیص انواع رسوبات جریان‌های گرانشی رسوبی از یکدیگر به علت عدم حفظشدنگی و یا کیفیت ضعیف رخمنون مشکل می‌شود، این واژه می‌تواند بدون هیچ تردیدی مورد استفاده قرار گیرد. البته لازم به ذکر است که گروایت‌ها، رسوبات جریان‌های گرانشی سیال^۵ را شامل نمی‌شوند (گانی، ۲۰۰۳). گروایت‌ها به سه دسته کلی دبریت‌ها، دنسیت‌ها و توربیدایت‌ها تقسیم می‌گردند (شکل ۳).

۶- دبریت‌ها^۶ یا رسوبات جریان‌های خرددار از مهم‌ترین رسوبات جریان گرانشی، رسوبات جریان‌های خرددار یا دبریت‌ها می‌باشد (تاکر، ۱۹۹۴). قدرت ماتریکس گلی در برخی از جریان‌های خرددار به قدر کافی بالا است تا قطعات با اندازه چندین متر را حمل

۴- ویژگی‌های تشخیصی نهشته‌های جریان‌های گرانشی رسوبی

یک دلیل برای مباحثه در مورد جریان‌های گرانشی در میان رسوب‌شناسان فقدان هدف مشترک در مورد ویژگی‌های رسوبی که عامل کلیدی مهم برای تشخیص انواع جریان‌های گرانشی رسوبی است، می‌باشد. هنگامی که بحث در مورد سنگ‌های رسوبی اتفاق می‌افتد، رسوب‌شناسان فرایندهای رسوب‌گذاری را بر اساس پارامترهای مشاهده‌ای رسوبات استنباط می‌کنند. بنابراین، تفسیر موفق نهشته‌های جریان‌های گرانشی بستگی به چگونگی برقراری ارتباط دقیق بین فیزیک (فرایندها) و رسوب‌شناسی (محصولات) دارد. نوع و تغییر شکل جریان و مکانیسم‌های تامین رسوب یک سری ارتباطات را پیشنهاد می‌دهد که به نوبه خود ویژگی‌های رسوبی کلیدی را برای هر کدام از انواع نهشته‌های جریان‌های گرانشی رسوبی تنظیم می‌کند (جدول ۳). بر اساس این ویژگی‌های تشخیصی، پژوهش‌گران واژه‌های گوناگونی را برای نهشته‌های جریان‌های گرانشی رسوبی به کار برندند که در زیر به آن‌ها اشاره می‌شود.

۵- رسوبات جریان گرانشی

گروایت‌ها^۱ رسوب یا سنگ نهشته شده توسط جریان- رسوبی گرانشی هستند. این واژه، تمام رسوبات جریان‌های

² Turbidite

³ Sub-marine fan

⁴ Fluid gravity flows

⁵ Debris

⁶ Gravites

بزرگ‌ترین اندازه قابل حمل، ثبت اندازه ۱۰ قطعه از بزرگ‌ترین قطعات موجود در یک ناحیه کوچک رخمنون یافته و اندازه‌گیری میانگین آن‌ها می‌باشد (مايل، ۲۰۰۶). با توجه به ترکیب قطعات سازنده دریت‌ها می‌توان آن‌ها را به دریت‌های آواری و کلسی‌دریت‌ها^{۱۰} طبقه‌بندی (ریجمر و همکاران، ۲۰۱۴). کلسی‌دریت‌ها نهشته‌های مرتبط با رویداد رسوب‌گذاری مجدد است که به تنابع در بخش‌های حوضه‌ای مجاور پلتفرم‌های کربناته فعال ایجاد می‌شوند (ریجمر و همکاران، ۲۰۱۴). عامل اصلی شروع رسوب‌گذاری مجدد نهشته‌ها در مقیاس بزرگ (کلسی‌دریت‌ها)، فرایندهای زمین‌ساختی می‌باشد (کویکورز و همکاران، ۲۰۱۳). ترکیب رسوبات کلسی‌دریت‌ها برای تعیین غرقابی‌شدن^{۱۱} و رخمنون یافته^{۱۲} پلتفرم‌های کربناته جدید (نظیر باهام، ریجمر و همکاران، ۱۹۹۲) و پلتفرم‌های کربناته دیرینه (نظیر بخش کربناته آلپ شمالی و جنوبی- ریجمر، ۱۹۹۸؛ اورتس و همکاران، ۱۹۹۹؛ برا، ۲۰۰۷)، بررسی غرق‌شدن^{۱۳} پلتفرم‌ها (نظیر پلتفرم کویینزلند) (بتزلر و همکاران، ۱۹۹۵)، تعیین تاثیر فرایندهای زمین‌ساختی بر تولید کربناته‌های پلتفرم کربناته (نظیر پلتفرم کربناته میوسن) (اورتس، ۱۹۹۱) و بررسی شاخص کنترل‌کننده گسل در توزیع نهشته‌های کربناته گرانشی در طی فرایندهای زمین‌ساختی کششی (نظیر تیس در ژوراسیک) (کویکورز و همکاران، ۲۰۱۳) مورد استفاده قرار می‌گیرد. ریجمر و همکاران (۲۰۱۲) نشان دادند که ناپایداری^{۱۴} رسوبات حاشیه پلتفرم و بخش فوقانی شیب^{۱۵} در نتیجه بالاً‌مدن و پایین‌افتادگی سطح آب^{۱۶} اتفاق می‌افتد. در شکل ۴ منشا رسوبات گرانشی (کلسی‌دریت و کلسی‌توربیدایت)، تغییرات جریان‌های گرانشی و ارتباط آن با تغییرات سطح آب در پلتفرم باهاما نشان داده شده است.

شاخص‌های معمول جهت تشخیص دریت‌ها عبارتند از (فلوگل، ۲۰۱۰): ۱- طبقات ضخیم و یا توده‌ای. ۲- سطح فوقانی نامنظم. ۳- وجود قطعات بزرگ^{۱۷} در بخش فوقانی

نماید. دریت‌ها بطور تیپیک دارای گل فراوان با قطعات پراکنده هستند که فابریک با گل غالب را ایجاد می‌کنند. معمولاً جورشده^۶ یا دانه‌بندی تدریجی در ذرات وجود ندارد. با این وجود، دریت‌های قطعه‌غالب^۷ نیز وجود دارد، که فابریک با پبل فراوان درست می‌کند (تاکر، ۱۹۹۴). ضخامت و گستردگی رسوبات جریان خردedar در حوضه اقیانوسی بوسیله حجم مواد و سرعت جریان به سمت پایین‌دست شبی مشخص می‌گردد. بر خلاف جریان خردedar در خشکی، این جریان به دلیل اختلاط با آب رقیق‌تر می‌شود. این موضوع سبب تغییراتی در مکانیسم جریان در محیط آبی می‌شود. سطح بالایی یک رسوب جریان خردedar زیر دریایی به سبب رقیق شدن بخش بالایی جریان به سمت بالا ریزدانه می‌شود (نیکولز، ۲۰۰۹). اساساً جریان‌های خردedar، توده‌های در حال حرکت از قطعات سنگ، کانی‌های رسی و آب می‌باشند. اگرچه جریان‌های خردedar عمدها به عنوان جریان پلاستیک^۸ در نظر گرفته می‌شوند (او، ۱۹۸۲)، اما برخی از محققین آن‌ها را جز سیالات غیرنیوتونی می‌دانند (آلن، ۱۹۹۷). بنابراین، دریت‌ها شامل دریت‌های چسبنده (سیالات پلاستیک بین‌هم، شکل ۳ الف) و دریت‌های غیرچسبنده (سیالات غیرنیوتونی رقیق شده، شکل‌های ۳ ب و ج) می‌باشند (گانی، ۲۰۰۳). بطور عمومی، یک لایه گراویت هیچ‌گونه دانه‌بندی^۹ حتی در بخش‌های بالایی خود نشان نمی‌دهد. شناسایی دریت‌های چسبنده به طور نسبی آسان‌تر است. نکته مهم این است که به خاطر مقاومت تسلیم، دارای قطعات بزرگ شناور در یک ماتریکس گلی می‌باشند. به عبارت دیگر، دریت‌های غیرچسبنده ماسه‌سنگ‌های تمی از گل نظیر جریان‌های دانه‌ای هستند که به علت فشار پراکنده دانه دارای دانه‌بندی معکوس می‌باشند (گانی، ۲۰۰۴). اندازه قطعاتی که توسط جریان خردedar می‌تواند حمل شود بستگی به مقاومت تسلیم جریان دارد که این مقاومت خود در ارتباط با گرانشی و ضخامت جریان است. برای اثبات این نظر، معمولاً بزرگ‌ترین اندازه قابل حمل^{۱۰} در جریان‌های خردedar با توجه به ضخامت جریان متغیر است (مايل، ۲۰۰۶). روش موثر صحرایی برای اندازه‌گیری سریع

¹⁰ Calcidebrites

¹¹ Flooding

¹² Exposure

¹³ Drowning

¹⁴ Destabilization

¹⁵ Upper slope

¹⁶ Sea-level rise and fall

¹⁷ Clast

⁶ Clast-dominated debrites

⁷ Plastic flow

⁸ Grading

⁹ Maximum clast size; MCS

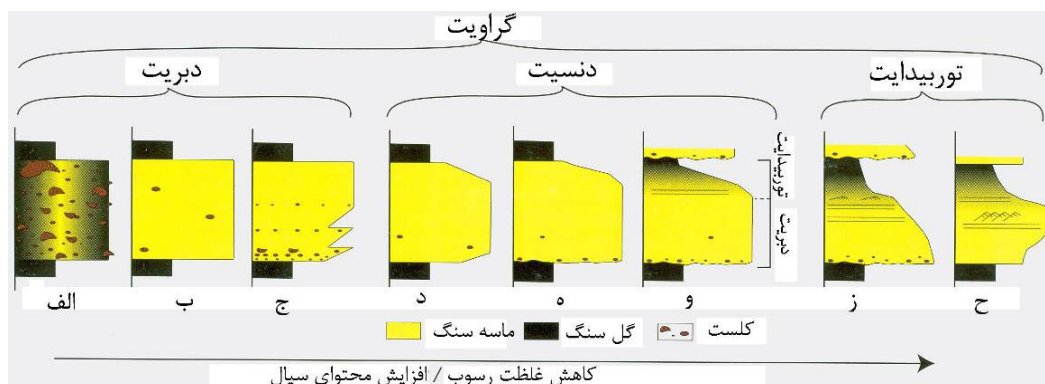
گراویت هیبریدی است که شامل یک لایه تحتانی دبریتی معمولاً غیرچسبنده و یک لایه فوکانی توربیدیاتی که سطوح لایه‌بندی بین این دو لایه گسترش ندارد، می‌باشد (شکل‌های ۳ د تا و). در متون زمین‌شناسی، این رسوبات را به عنوان توربیدیات‌هایی با بخش T_{a-b} یا T_a سکانس T_{a-b} یا T_a به وجود آورند. با این وجود، این طبقات دارای دانه‌بندی تدریجی عادی فقط در بخش‌های فوکانی و در بخش تحتانی به صورت توده‌ای یا دانه‌بندی تدریجی معکوس می‌باشند (گانی ۲۰۰۳ و ۲۰۰۴).

طبقات. ۴- فقدان فابریک رسوبی به استثنای دانه‌بندی تدریجی ضعیف و خام^۱ در بخش تحتانی. ۵- قطعات بزرگ سنگ‌آهک با جورشده‌گی بسیار ضعیف (عمدتاً در اندازه ماسه و کوچک‌تر از آن). ۶- قطعات زاویده‌دار یا گردشده و یا مخلوطی از آن‌ها. ۷- پشتیبانی قطعات بزرگ بوسیله رسوبات دانه‌ریزتر (میکرایت و کلسی‌سیلتیات آرژیلیکی). ۸- وجود ذرات بزرگ‌تر در اندازه پل و بولدر در رسوبات جریان خرده‌دار.

۷- دنسیت‌ها: واژه دنسیت برای رسوبات جریان‌های چکال و متراکم استفاده می‌گردد. دنسیت در واقع یک

جدول ۳. ارتباطات بین فیزیک (فرایندها) و رسوب‌شناسی (محصولات) جریان‌های گرانشی رسوبی (لاو و گائی، ۲۰۰۳؛ گانی، ۲۰۰۴). انواع متفاوت جریان و مکانیسم‌های تامین رسوب می‌توانند ویژگی‌های تشخیصی رسوبی برای انواع جریان‌های گرانشی بوجود آورند.

	رسوب‌شناسی	ارتباطات	فیزیک جریان	نوع جریان و تغییر شکل آن
مکانیسم تامین رسوب	جورشده‌گی خوب بدون شناور بودن قطعات بزرگ، بخش فوکانی همیشه دانه‌بندی نرمال را نشان می‌دهد	بدون مقاومت تسلیم و بدون انجاماد (قابل حرکت)	سیال نیوتونی	انجاماد اصطحکاکی ^۲ اما بدون مقاومت تسلیم، انجاماد از پاسن به بالا
	بدون دانه‌بندی تدریجی نرمال، ایناشتگی لایه به لایه ^۳	انجاماد دسته‌جمعی ^۴ در نتیجه مقاومت تسلیم، انجاماد از بالا به پایین	سیال رقیق‌شده غیر نیوتونی	
	جورشده‌گی ضعیف، حفظشده‌گی مورفولوژی جریان، مرز مشخص فوکانی	رسوب تفریقی ذرات ^۵ از حالت معلق	پلاستیک بین‌گهایم	
نوع جریان و تغییر شکل آن	جورشده‌گی خوب، دانه‌بندی تدریجی نرمال	رسار ^۶	آشفتگی سیال	رسار سیال درون خفره
	ساختارهای بشقابی و ستونی ^۷ ؛ لایه‌بندی پیچیده ^۸	آفلار فرار ^۹	فشار پراکنده کننده دانه	ذرات بزرگ‌تر و پرتاپ پیش‌تر
	دانه‌بندی تدریجی معکوس ^{۱۰}	تامین قطعات و کلستهای بزرگ	مقاومت ماتریکس	قطعات شناور ماتریکس-پشتیبان، جورشده‌گی ضعیف
	قطعات شناور ماتریکس-پشتیبان، جورشده‌گی ضعیف			



شکل ۳. مدل سنگ‌شناسی ساده برای نهشته‌های جریان‌های گرانشی رسوبی (گانی، ۲۰۰۴). (الف) دبریت چسبنده. (ب و ج) دبریت غیر چسبنده. (د تا و) دنسیت (نهشته جریان گرانشی رسوبی دو بخشی). (ز) توربیدیات (توالی بوما). (ح) توربیدیات. لازم به ذکر است که جهت علامت پیکان مشابه تکامل رو به پایین شیب^۹ جریان‌های گرانشی رسوبی است.

¹ Layer by layer accretion

² Frictional freezing

³ En-mass freezing

⁴ Differential grain settling

⁵ Dish and pillar structures

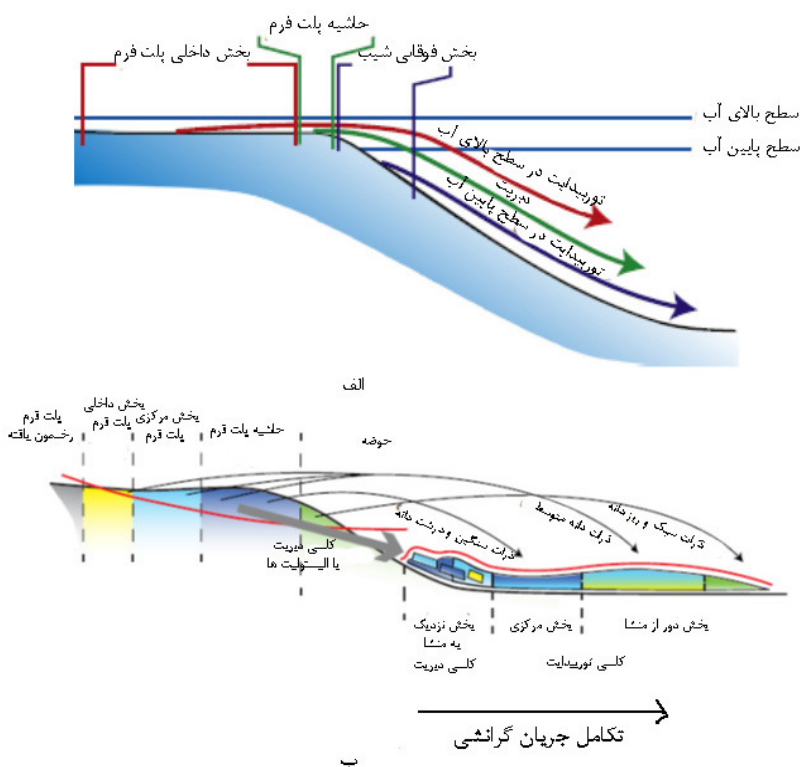
⁶ Convolute bedding

⁷ Escape marks

⁸ Inverse grading

⁹ Down-slope

تغییرات سطح آب: پلت فرم باهاما



شکل ۴. (الف) منشا نهشتۀهای کلسي توربيدايتی و کلسي ديربيتی و ارتباط آن با تغییرات سطح آب در پلت فرم باهاما (Ryggmo و همکاران، ۲۰۱۴). منشا نهشتۀهای توربيدايتی در سطح بالا و پایین آب به ترتیب بخش داخلي پلت فرم و بخش فوقانی شیب می‌باشد. ب) الگوی رسوب‌گذاری مجدد ذرات در حوضه مجاور پلت فرم کربناته باهاما. تکامل و تغییرات جريان گرانشی از کلسي گرانشی (جريان خرددار) با الیستولیت‌ها در مناطق نزدیک به منشا تا کلسي توربيدايت در مناطق مرکزی و دور از منشا اتفاق می‌افتد. لازم به ذکر است که شکل‌ها بدون مقیاس ارائه شده است.

معکوس، بدون دانه‌بندی و دارای دانه‌بندی تدریجی عادی هستند، به کار بردن. برای تفسیر مکانیسم‌های رسوبی ماسه‌های توده‌ای بدون دانه‌بندی از واژه جريان‌های توربيدايتی با چگالی بالا استفاده شده است (باس، ۲۰۰۴). تنها نمونه حقیقی از جريان‌های توربيدايتی تقریباً ثابت، جريان‌های پرغلظت ایجاد شده در اثر طغیان‌های رودخانه‌ای می‌باشد (شکل ۳ج) (مولدر و همکاران، ۲۰۰۳).

توالی‌های توربيدايتی از نظر ساختهای رسوبی، ضخامت طبقات و ویژگی‌های بافتی بسیار متغیر هستند (فلوگل، ۲۰۱۰). این تغییرات توسط شاخص‌هایی نظیر مسافت بین ناحیه منشا و رسوب‌گذاری، نقطه‌ای یا خطی بودن منشا، ترکیب رسوبات در دسترس، توبوگرافی ناحیه رسوب‌گذاری و چگالی جريان‌های توربيدايتی (چگالی کم یا زیاد مواد معلق) کنترل می‌گردد (فلوگل، ۲۰۱۰).

۸- توربيدايت‌ها

هنگامی‌که واژه توربيدايت برای رسوبات حاصل از جريان‌های توربيدايتی مورد استفاده قرار گرفت، در متون زمین‌شناسی استفاده از آن فراگیر شد. امروزه جريان‌های توربيدايتی برای جريان‌های گرانشی رسوبی نیوتونی به کار گرفته می‌شود. جريان‌های توربيدايتی به عنوان جريان‌های جهت‌دار آشفته محسوب می‌شوند. این نوع جريان‌های نیوتونی برخلاف سایر جريان‌ها به علت سقوط و رسوب متفاوت ذرات از بخش تحتانی تا بخش فوقانی رسوبات دارای دانه‌بندی تدریجی می‌باشند (نظیر توالی بوما) (شکل ۳ز). با این وجود، کنلر و برانی (۱۹۹۵) مفاهیم کدر^۱، ثابت^۲ و افول یافته^۳ را به ترتیب برای جريان‌های توربيدايتی که دارای دانه‌بندی تدریجی

¹ Waxing

² Steady

³ Waning

معمولًا توالی کامل بوما در توربیدیات‌های نزدیک به منشا^{۱۲} و توالی ناقص بوما در توربیدیات‌های دور از منشا^{۱۳} مشاهده می‌شود (استلتینگ و همکاران، ۲۰۰۰).

۲-۸- توربیدیات آهکی

توالی‌های توربیدیات‌های آواری و آهکی (توربیدیات‌های سنگآهکی) دارای تفاوت‌هایی هستند. این تفاوت‌ها عبارتند از (ابرلی، ۱۹۸۷؛ فلوگل، ۲۰۱۰؛ ریجمر و همکاران، ۲۰۱۴): ۱- در توربیدیات‌های آهکی، اندازه ذرات بیوکلستی عمدتاً توسط محدودیت‌های اکولوژیکی در ناحیه منشا و فرایندهای فسیلی شدن کنترل می‌شود. ۲- فراوانی قطعات سنگی. کربنات‌های پلتفرم و شلف به طور سریعی سیمانی می‌شوند. بنابراین در توربیدیات‌های آهکی، قطعات سنگی بیشتر وجود دارند. ۳- تنوع ذرات موجود در توربیدیات‌های آهکی بیشتر است. انتقال و رسوب‌گذاری دانه‌های اسکلتی بوسیله تفاوت در اندازه، شکل، ساختار میکروسکوپی، تخلخل و چگالی تحت تاثیر قرار می‌گیرد. ۴- بر خلاف توربیدیات‌های آواری، توالی کامل بوما در نهشته‌های کربناته کمیاب است. ۵- در بسیاری از توربیدیات‌های آهکی، توزیع دوگانه قطعات (دو اندازه غالب) به دو صورت قطعات سنگی و خرددهای فسیلی وجود دارد. این دوگانه بودن سبب دانه‌بندی تدریجی معکوس (به سمت بالا درشت‌شونده) در قاعده بخش A توالی بوما می‌شود. قطعات سنگی کوچک اما چگال ابتدا رسوب می‌کنند و سپس بر روی آن‌ها خرددهای فسیلی بزرگ‌تر و کم‌چگال‌تر قرار می‌گیرند. ۶- فقدان ساختمان‌های رسوبی نظیر قالب‌های وزنی و فلوت‌کست در توربیدیات‌های آهکی به علت فقدان چسبندگی در گل‌های آهکی و تاثیر زیاد فرایندهای دیازنیکی بر روی رخسارهای کربناته است. ۷- در توربیدیات‌های آهکی دو پارامتر الف- بیش از حد شیب‌دار شدن بخش شیب پلتفرم کربناته در نتیجه تولید بیش از حد^{۱۴} پلتفرم کربناته و ب- زاویه قرار^{۱۵} بخش شیب به عنوان مکانیسم‌های محرک در رسوب- گذاری مجدد محسوب می‌شود. در جدول ۳ شاخص‌های زمین‌شناسی توربیدیات‌های آهکی ارائه شده است.

شاخص‌های متداول برای شناسایی توربیدیات‌ها عبارتند از (گانی، ۲۰۰۳؛ فلوگل، ۲۰۱۰): ۱- توالی قائم منظم واحدهای رسوبی که توسط ساختهای رسوبی خاص مشخص می‌شوند (توالی بوما و مایسخنر^{۱۶}). ۲- دانه‌بندی تدریجی و لامیناسیون. ۳- سطح تحتانی مشخص^{۱۷} عمدتاً همراه با علائم سطح زیرین لایه^{۱۸} و سطح فوقانی لایه به صورت تدریجی به طبقات فوقانی‌شان تبدیل می‌شوند. ۴- محتواز رسیتی (فسیل‌های نابرجا که از محیط‌های آب‌های کم‌زراfa و شب منشا می‌گیرند. فسیل‌های برجا کمیاب هستند. ماتی (۱۹۹۲) طبقه‌بندی عمومی را جهت مطالعه توربیدیات‌ها ارائه داد که بر انواع کانال، مقایسه‌های مقیاس فیزیکی^{۱۹} و کارایی انتقال^{۲۰} متمرکز می‌باشد و امروزه به پژوهش‌گران یک دستورالعمل مناسب برای اولین رویکرد در ناحیه مورد مطالعه ارائه می‌دهد (شکل‌های ۵ الف و ب). همچنین، ریدینگ و ریچاردس (۱۹۹۴) سیستم‌های توربیدیاتی را بر مبنای اندازه ذرات (غنى از گل، غنى از گل/اماسه، غنى از ماسه و غنى از گراول) و سیستم تفzیذه‌کننده (منشا نقطه‌ای، رمپ با منشا چندگانه و پیشانی شب^{۲۱} با منشا خطی) به ۱۲ رده تقسیم کردند.

۱-۸- توالی بوما

توالی توربیدیاتی ایده‌آل از یک توالی قائم با ساختهای رسوبی داخلی تشکیل شده است (شکل ۶). توالی بوما (بوما، ۱۹۶۲) برای نخستین بار در رسوبات آواری برسی شده است (شکل ۶ الف) و دارای ۵ بخش از پایین به بالا به شرح ذیل می‌باشد (فلوگل، ۲۰۱۰): بخش A، که توده‌ای یا با دانه‌بندی تدریجی است؛ بخش B، با لامیناسیون موازی تحتانی که شامل لامینه‌های نازکی هستند؛ بخش C، با لامیناسیون ریپلی جریانی^{۲۲} (یک جهته) یا لایه‌بندی پیچیده؛ بخش D، با لامیناسیون موازی فوقانی که از لامینه‌های بسیار نازک نامشخص^{۲۳} درون رسوبات دانه‌ریز تشکیل شده است و بخش E، با رسوبات بسیار دانه‌ریز بدون ساختهای رسوبی اولیه.

^{۱۲} Proximal turbidites

^{۱۳} Distal turbidites

^{۱۴} Overproduction

^{۱۵} Angel of repose

^{۱۶} Well-defined

^{۱۷} Sole-marks

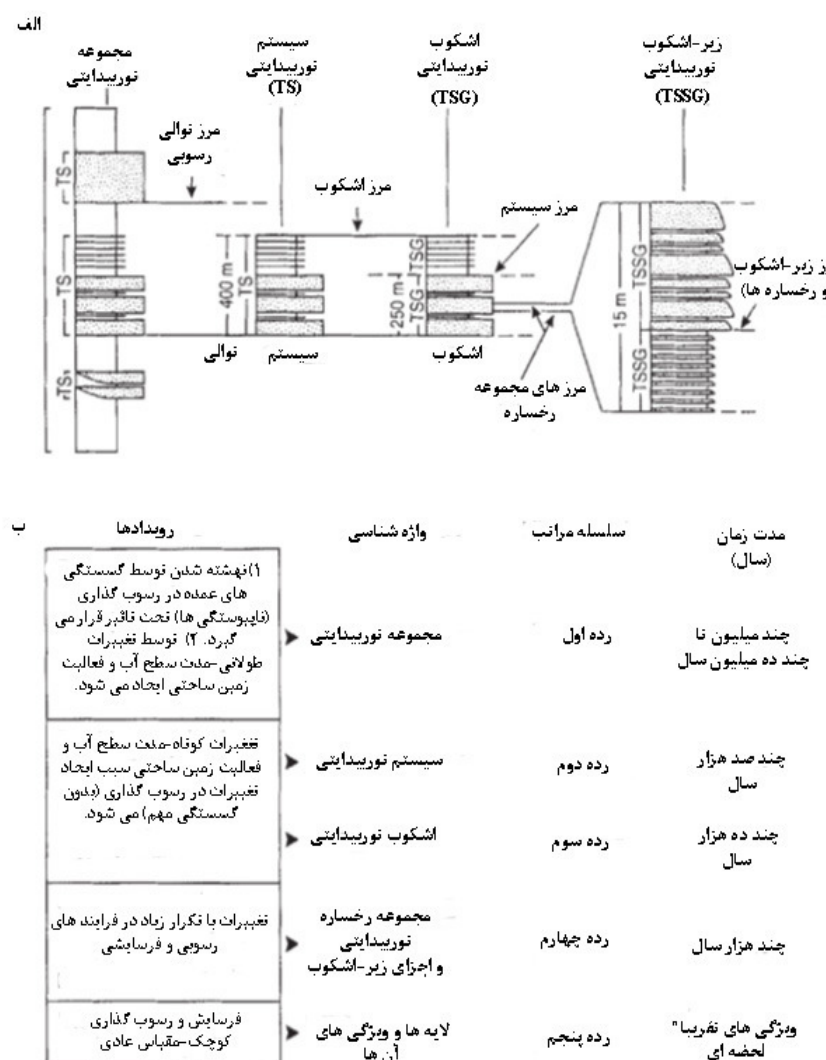
^{۱۸} Physical scale comparisons

^{۱۹} Transport efficiency

^{۲۰} Slope apron

^{۲۱} Current ripple lamination

^{۲۲} Obscure



شکل ۵. طبقه‌بندی مفهومی برای نهشته‌های توربیدایتی. (الف) ردیه‌بندی واحدها بر مبنای مقیاس فیزیکی (کاهش اندازه به سمت راست به ترتیب از مجموعه توربیدایتی^۱، سیستم توربیدایتی^۲، اشکوب توربیدایتی^۳ و ذیر-اشکوب توربیدایتی^۴ می‌باشد) (بوما، ۲۰۰۰، ب). طبقه‌بندی در یک چارچوب زمانی (ماقی، ۱۹۹۲).

است. شکل هندسی^۷ هر طبقه توربیدایت آهکی معمولاً به شکل توده عدسی^۸ می‌باشد. بخش‌های تحتانی دانه‌درشت‌تر، بیشترین ضخامت بالادست جریان^۹ و بخش‌های دانه‌ریز فوقانی، بیشترین ضخامت پایین‌دست جریان را نشان می‌دهند. بخش‌های دانه‌درشت معمولاً دارای موجودات کفرزی به دو صورت ماکروفسیل و میکروسیل هستند.

ناواحی منشا توربیدایت‌های آهکی، محیط‌های آبی کم رُزفا (پلت‌فرم‌ها، حواشی پلت‌فرم، ریفها و سکوها)^{۱۰} و محیط‌های شیب می‌باشد. طول طبقات توربیدایت‌های آهکی از چندین دهمتر تا چندین کیلومتر و ضخامت آن‌ها از حدود ۱ سانتی‌متر تا چندین متر می‌رسد (فلوگل، ۲۰۱۰). ادغام و قرارگیری^{۱۱} طبقات ضخیم توربیدایت‌های آهکی بر روی یکدیگر پدیده‌ای معمول

⁷ Geometry
⁸ Lenticular body
⁹ Upstream

¹ Turbidite complex

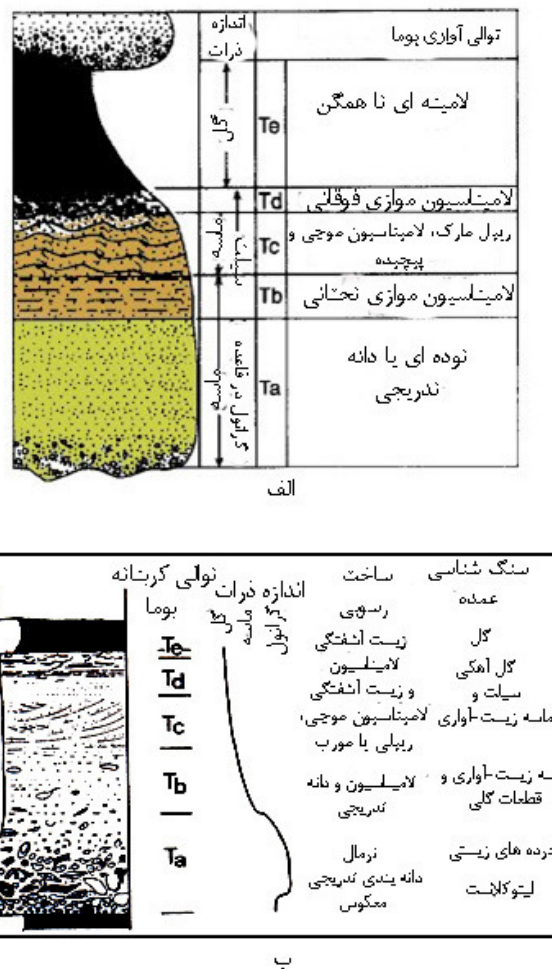
² Turbidite system

³ Turbidite stage

⁴ Turbidite sub-stage

⁵ Banks

⁶ Amalgamation



شکل ۶. الف) توالی آیده‌آل آواری بوما (شان‌موگام، ۱۹۹۷). لامیناسیون موازی، ساخت توده‌ای، دانه‌بندی تدریجی، ریپل‌مارک و لامیناسیون موجی و پیچیده در ۵ بخش توالی بوما مشاهده می‌شود. ب) رخساره توربیدیاتی آهکی آیده‌آل که توالی کامل بوما را نشان می‌دهد (ابرلی، ۱۹۸۷). جورشدگی ضعیف و دانه‌بندی تدریجی معکوس در نتیجه تاثیر چگالی متفاوت بین قطعات سنگی و خرده‌های زیستی بوجود می‌آید.

جدول ۳. شاخص‌های شناسایی توالی‌های توربیدیاتی آهکی (براملی، ۱۹۹۰؛ فلوگل، ۲۰۱۰؛ بهبهانی و همکاران، ۱۳۹۰).

وجود کالک‌آراییت، کلسی‌رودايت یا کلسی‌سیلتیت دانه‌تدریجی	تناوب سنگ‌آهک‌های نابرجای نازک-ضخیم‌لایه با کربنات‌های میکریتی، مارل و رسوبات آرزیلیکی
سطح تحتانی مشخص گاهی با عالم سطح زیرین لایه (نظیر گرو و فلوت‌کست و آثار فرسایشی)	توالی قائم مشتمل از واحدهای رسوبی همراه با ساختهای رسوبی خاص (توالی ماسسخر)
توالی بوما	طبقه‌بندی مورب و لامیناسیون پیچیده به صورت کمیاب
وجود اینترکلست، پلوبید، الید، قطعات سنگی، دانه‌های اسکلتی و گاهی اوقات اکسترکلست	قطعات سنگی در اندازه سیلت تا بولدر و دانه‌های اسکلتی در اندازه سیلت تا ماسه درشت
کاهش اندازه ذرات همراه با کاهش ضخامت لایه‌ها	جورشدگی خوب در بخش دانه‌درشت و جورشدگی متوسط خوب در بخش لامینه‌ای
تمرکز قطعات سنگی در بخش تحتانی و پراکنده‌گی قطعات زیستی در بخش فوقانی	وجود دانه‌های اسکلتی شامل موجودات کفرزی منشا یافته از محیط‌های شیب و دریابی کم‌ژرف، خرده‌هایی از موجودات ریفسار و برخی فسیل‌های پلانکتونیک
ریپل مارک و دانه‌بندی تدریجی	ایکو رخساره زئوفیکوس ^۱ (آثار تغذیه‌ای کندریتس و زئوفیکوس به صورت پراکنده)
آثار فرار	جاگاه شلف
زوج لامینه‌های ریز و درشت‌دانه (تناوب پکستون با وکستون-مادستون)	فراوانی کربنات‌های اسکلتی
صفبندی موازی دانه‌های اسکلتی در رخساره‌های پکستون	فراوانی اثار فسیلی سکنایی (نظیر آرنی کولیتس و تالاسینوئیدس)

^۱ Zoophycos ichnofacies

در حدود ۱ متر است. توربیدیات‌های آهکی (توربیدیات‌ها) به دو گروه توربیدیات‌های نزدیک به منشا و دور از منشا^۶ طبقه‌بندی می‌شوند. توربیدیات‌های نزدیک به منشا نسبتاً نزدیک به ناحیه منشا نهشته می‌شوند و دارای دانه‌بندی تدریجی نسبتاً ضعیف، ساختهای فرسایشی کم‌توسعه یافته و مقادیر کمی میان‌لایه‌های رسوبات پلاژیک هستند. در مقابل، توربیدیات‌های دور از منشا دارای لایه‌های نازک و دانه‌ریز با دانه‌بندی تدریجی، لامیناسیون‌های مورب توسعه یافته و لامیناسیون‌های موازی و فاقد رسوبات توده‌ای هستند (فلوگل، ۲۰۱۰). برخی از مهم‌ترین ویژگی‌های توربیدیات‌های آهکی نزدیک و دور از منشا در جدول ۴ آرائه شده است. به طور ایده‌آل، شاخص‌های نزدیکی به منشا^۷ برای توالی‌های توربیدیاتی تکمنشا (ایجاد شده توسط جریان‌های صفحه‌ای طولی) کاربرد دارد. در مخروط‌های توربیدیاتی، بخش‌های نزدیک و دور از منشا می‌توانند در کنار یکدیگر باشند. پیچ و خم داشتن (مئاندri بودن) جریان‌های توربیدیاتی، می‌تواند انحراف‌های قوی از الگوی عمومی نزدیک به منشا- دور از منشا ایجاد کند. برخی از این انحراف‌ها توسط تفاوت‌ها در رسوب‌گذاری در حوضه‌های ژرف و بزرگ در مقابل حوضه‌های کوچک و کم‌ژرف، مشاهدای نقطه‌ای یا خطی و تفاوت رفتاری سقوط قطعات کربناته ایجاد می‌شود (فلوگل، ۲۰۱۰). لازم به ذکر است که توربیدیات‌های آهکی با منشا آب ژرف^۸ دارای مشابهت‌ها و تفاوت‌های چشم‌گیری نسبت به انواع کم‌ژرف‌ها هستند. تفاوت‌ها شامل ساختهای داخلی توالی و تفاوت‌های بیش‌تر در انواع فسیل‌ها می‌باشد (کنیگلیو و دیکس، ۱۹۹۲). به عنوان مثال، توربیدیات‌های آهکی کربنوتئیدی توسط فراوانی لامیناسیون‌های افقی، کمبود بخش‌های دانه‌تدریجی، فقدان بخش دانه‌ریز فوقانی و مرز مشخص با شیل‌های فوقانی خوبیش مشخص می‌شود. هم‌چنین، توربیدیات‌های آهکی آب ژرف می‌تواند از انتقال رسوبات پلاژیک نهشته‌شده در بخش‌های فوقانی یا یال‌های برجستگی‌های بستر دریا^۹ به فرو افتادگی‌های (گودال‌های) درون حوضه‌ای^{۱۰} منشا گیرد.

۱-۲-۸- توالی مایسخنر

در توربیدیات‌های آهکی، ترکیب و توالی داخلی^۱ (شکل ۷) توسط مقدار مواد انتقال‌یافته، مسافت از ناحیه منشا، نرخ تجمع و رسوب‌گذاری پس‌زمینه^۲ مشخص می‌شود (فلوگل، ۲۰۱۰). زون ۱a و ۱b توالی مایسخنر معادل بخش A توالی بوما، زون ۱c معادل بخش B، زون ۲ معادل بخش C و زون ۳ معادل بخش D توالی بوما هستند. بخش گلی E توالی بوما (گل‌های پلاژیک (توربیدیاتی) و همی‌پلاژیک) در توالی مایسخنر وجود ندارد. این دو مدل با یکدیگر تفاوت‌ها و شباهت‌هایی دارند. در مقایسه با توالی بوما، زون ۱ توالی مایسخنر دانه‌درشت‌تر (رودایتی) است. دانه‌بندی تدریجی معکوس در قاعده زون ۱ بیش‌تر از بخش A توالی بوما مشاهده می‌شود. در زون ۲ توالی مایسخنر، لامیناسیون‌های موازی تحتانی و فوقانی، لامیناسیون ریپلی و پیچیده (پیش- فاز^۳) توالی مایسخنر توسط میکرات‌ها یا سنگ‌آهک‌های رسی با قطعات سنگی کوچک پراکنده و خرده‌سنگ‌های نسبتاً بزرگ مشخص می‌شود. منشا این بخش از توالی بحث‌برانگیز است. انحلال و دوباره نهشته‌شدن کربنات‌ها می‌تواند در تشکیل آن با اهمیت باشد. مرز آن با زون پلاژیک زیرینش مشخص است. سطح فوقانی این بخش ممکن است موجی و نامنظم باشد (فلوگل، ۲۰۱۰). فاز اصلی^۴ این توالی (زون‌های ۱ تا ۳) عبارتند از: زون ۱ دارای سه بخش ۱a با سنگ‌آهک‌های دانه‌تدریجی با فسیل‌های آب کم‌ژرف، قطعات سنگی، دانه‌بندی تدریجی معکوس، جهت‌یافته‌گی فلزی^۵ احتمالی دانه‌ها و افزایش جورش‌دگی به سمت بالا؛ بخش ۱b با میکرات‌های دانه‌ریز؛ بخش ۱c دارای لامیناسیون ضعیف، قطعات سنگ‌آهکی زاویه‌دار و پبل‌های میکراتی؛ زون ۲ از میکرات‌های با سطوح طبقه‌بندی مسطح با لامیناسیون‌های متراکم (۲a)؛ میکرات با لامیناسیون ریپلی جریانی و گاهی با لایه‌بندی پیچیده (۲b)؛ زون ۳ از مارل با بافت فلاسر تشکیل شده است (فلوگل، ۲۰۱۰). زون ۳ به تدریج به رسوبات پلاژیک فوقانیش تبدیل می‌شود. ضخامت طبقات

⁶ Distal and proximal turbidites

⁷ Proximity indicators

⁸ Deep-water source calciturbidites

⁹ Sea-floor relief

¹⁰ Intrabasinal depressions

¹ Internal sequence

² Intensity of background sedimentation

³ Pre-phase

⁴ Main phase

⁵ Imbrication

جدول ۴. شاخص‌های‌های توربیدیات‌های آهکی نزدیک و دور از منشا (فلوگل، ۲۰۱۰). پارامترهای میانگین بیشینه اندازه ذرات (کاهش در جهت پایین‌دست جریان)، شاخص‌های ABC (شروع نیمی از طبقات با بخش A و نیمی از طبقات با بخش B) و نسبت ضخامت بخش A با میانگین بیشینه اندازه ذرات مورد استفاده قرار گرفته است. همچنین، منحنی‌های دانه‌بندی و نزدیکی به منشا تفاوت‌هایی در اندازه بیشینه ذرات در نتیجه موقعیت‌های قائم گوناگون طبقات توربیدیاتی نشان می‌دهند که جهت تمایز این طبقات مورد استفاده قرار گرفته است.

ویژگی‌های صحرابی	نزدیک به منشا	دور از منشا
توزیع طبقات توربیدیاتی	متراکم، جدشده یا بر روی یکدیگر قرار گرفته، رسوپ‌گذاری محدود پس‌زمینه	پراکنده، جدشده رسوپ‌گذاری بالای پس‌زمینه
نسبت توربیدیات‌ها به نهشته‌های پلازیک	زياد	کم
شكل هندسی توربیدیات‌ها	طبقات عدسی با ضخامت گوناگون، متوسط تا ضخم‌لاهه	منظمه، طبقات موازی مسطح، نازک‌لایه (نازک‌تر از چند ده سانتی‌متر)
ساختهای رسوبی مرتب	ساختهای ریزشی، برشی شدن	برشی شدن به صورت نادر
قاعده طبقات توربیدیاتی	مشخص، گاهی حفرشده، آثار تول، پبل‌های با حاجایی مجدد، گاهی فرسایشی، آثار شسته شده	مشخص
بخش فوقانی طبقات توربیدیاتی	تدریجی	مشخص و تدریجی
تولای داخلي		
تولای نسبتاً کامل بومالایسختر	نسبتاً معمول	کمیاب
(بخش دانه‌بندی؟ تدریجی (زون ۱a)	خوب توسعه‌یافته، ضخیم	کاهش در ضخامت
دانه‌بندی تدریجی	خوب دانه‌بندی تدریجی تا فقدان دانه‌بندی	معمول‌دارای دانه‌بندی تدریجی
دانه‌بندی تدریجی معکوس	معمول	غایب
دانه‌بندی تدریجی بخش دنباله دانه‌درشت ^۱	معمول	غایب
قاعده بخش آواری تختانی	عموماً مشخص	مشخص
بالای بخش آواری تختانی	غالیاً مشخص	تبديل‌شده به رسوبات دانه‌بریز
لامیناسیون (زون ۲a و ۱c)	کم‌تر معمول، اغلب محدود به طبقات ضخیم‌تر می‌شود	بیش‌تر معمول است
لامیناسیون ریپلی و پیچیده	محدود به طبقات ضخیم‌تر (زون ۲b)	کم‌تر معمول تا غایب
بخش‌های فوقانی میکرایتی طبقات توربیدیاتی	نازک یا غایب	خوب توسعه‌یافته
پایین‌ترین واحدهای طبقات توربیدیاتی	زون ۱a (بخش A)	زون ۱b یا زون ۱c
اندازه ذرات		
میانگین اندازه ذرات	گراول و ماسه	ماسه و کوچکتر
تغییر چشم‌گیر قائم در اندازه ذرات غالب	معمول	غایب
زمینه		
زمینه بین دانه‌ها در بخش‌های آواری توربیدیات	کلستیت اسپاری	میکرات
نسبت توربیدیات‌ها به رسوبات پلازیک	زياد	کم
ریز رخساره‌ها		
قطعات سنگی	قطعات سنگی، اکسٹرالکلست‌ها، فسیل‌ها، اییدها، پلوییدها	قطعات سنگی، فسیل‌ها، اییدها، پلوییدها
فسیل‌ها	فسیل‌های کفزی آب که رفما منتج شده از پلت‌فرم‌ها و حاشیه پلت‌فرم، فسیل‌های منتج شده از محیط شیب، فسیل‌های پلازیک	فسیل‌های کفزی پلت‌فرم، محیط شیب، فسیل‌های برجای آب ژرف
قطعات سنگی موجود در ریز رخساره‌ها	متغیر تا بسیار متغیر	نسبتاً یکنواخت

^۱ Coarse-tail grading



شکل ۷. توالی مایسخنر که توصیف کننده توالی توربیدایتی آهکی ایده‌آل است (فلوگل، ۲۰۱۰).

مخزن در سیتم‌های توربیدایتی دانه‌ریز می‌باشد. این بررسی‌ها با ۱- بررسی مجدد توالی‌های رخمنون یافته متعدد با تکیه بر مفاهیم چینه‌نگاری سکانسی و عناصر ساختاری مخزن، ۲- انجام مطالعات تجربی (نظیر فلوم^۵)، این روش سعی در شبیه‌سازی شرایط طبیعی آلوویال دارد. تعداد زیادی از متغیرهای مربوطه احتمالی معمولاً محدود به ویژگی‌های رسوبات (اندازه ذرات، توزیع اندازه ذرات، شکل ذرات، چگالی، نرخ انتقال رسوبات، تخلیه آب، سرعت میانگین، ژرفای آب، شبکه و خشونت بستر) می‌شود (ولیامز، ۱۹۶۷) و مدل‌سازی عددی جهت بررسی انتقال جريان گرانشی رسوبی و فرایندهای رسوبی، ۳- ترکیب مطالعات زمین‌شناسی- ژئوفیزیکی- مهندسی جهت تعریف یکپارچه و تعیین مشخصه‌های توده‌های ماسه‌ای زیرسطحی انجام می‌شود (بوما، ۲۰۰۰). این مطالعات، بسیاری از تنافق‌ها را پاسخ می‌دهد و تفاوت‌های اساسی موجود در رسوبات آب ژرف، خصوصاً اجزای در اندازه ماسه نهشته شده در سیتم‌های توربیدایتی دانه‌ریز غنی از گل در مقایسه با سیتم‌های توربیدایتی غنی از ماسه دانه‌درشت را شرح می‌دهد. در جدول ۵، طبقه‌بندی سیتم‌های توربیدایتی آب ژرف (سیتم‌های توربیدایتی دانه‌ریز و دانه‌درشت) بر اساس اندازه ذرات و نوع سیستم تغذیه‌کننده آن ارائه شده است. ویژگی‌های اصلی سیتم‌های توربیدایتی دانه‌درشت و دانه‌ریز در جدول ۶ ذکر شده است.

۸-۳- توربیدایت‌های دانه‌ریز و دانه‌درشت

سیتم‌های توربیدایتی غنی از گل- دانه‌ریز^۱ در درجه اول در حوضه‌های با ورودی رودخانه‌ای بزرگ ایجاد می‌شوند (استلتینگ و همکاران، ۲۰۰۰). مدل‌های رسوبی منتج شده از سیتم‌های توربیدایتی غنی از ماسه به سبب ایجاد الگوهای متفاوت توزیع رسوبات در نتیجه حجم زیاد گل در سیتم‌های توربیدایتی دانه‌ریز، ویژگی‌های زمین‌ریخت‌شناسی و ساختار داخلی در مقیاس‌های لایه تا توالی برای توربیدایت‌های دانه‌ریز غنی از گل مناسب نمی‌باشد. شناخت سیتم‌های توربیدایتی دانه‌ریز احتیاج به تعدادی از مراحل و درجات تجزیه و تحلیل (مشابه دامنه‌ای از اطلاعات که در صنایع نفت کاربرد دارد) دارد. این اطلاعات شامل داده‌های دو و سه بعدی لرزه‌ای^۲، مغزه‌ها و نمودارهای چاپ‌پیمایی^۳ است (استلتینگ و همکاران، ۲۰۰۰).

پژوهش‌ها بر روی سیتم‌های توربیدایتی (مخروطهای زیردریایی) عمدتاً برای اکتشاف منابع عظیم هیدروکربنی در سیتم‌های توربیدایتی دانه‌ریز در جایگاه‌های حاشیه غیرفعال^۴ در سراسر دنیا انجام شده است (نظیر بزریل، خلیج مکزیک، باخت آفریقا، دریای شمال) (استلتینگ و همکاران، ۲۰۰۰). جهت دستیابی به این‌گونه اکتشافات نیاز به بررسی فرایندهای انتقال رسوبات، الگوهای توزیع رسوبات، فرایندهای ایجاد مخروط و شناسایی ساختار

¹ Fine-grained, mud-rich turbidite systems

² 2-D and 3-D seismic

³ Well logs

⁴ Passive margin settings

جدول ۵. طبقه‌بندی سیستم‌های توربیدایتی دیرینه و جدید بر مبنای اندازه ذرات و سیستم تغذیه‌کننده (ریدینگ و ریچاردس، ۱۹۹۴؛ استلتینگ و همکاران، ۲۰۰۰). اعداد ۱، ۲، ۳ و ۴ به ترتیب از دولتی (۲۰۱۰)، برج و همکاران (۲۰۱۲)، محمدی (۲۰۱۶) و بیبهانی و همکاران (۱۳۹۰) ارائه شده است.

سیستم تغذیه‌کننده	سیستم‌های غنی از گل-ماسه	سیستم‌های غنی از گل-ماسه	سیستم‌های غنی از گروال
مخوط زیردریایی (منشا نقطه‌ای)	سیستم‌های جدید: آمازون، آتلوریا، بنگال، می‌سی‌پی، نیل، موزامبیک و شمال باختری آفریقا. سیستم دیرینه: گروه جکفورد.	سیستم‌های جدید: لاچولا، دلگادا، ناوی. سیستم‌های دیرینه: فرلو، لاغا، ماسینیگو، استیونس، تانکا، مکران ^۱ ، مکران داخلی ^۲ ، زون درز سیستان ^۳ .	سیستم‌های جدید: آون، کالاپار، ناوی. سیستم‌های دیرینه: آبوت، بالدر، مانگوس، میلر.
رمپ (منشا چندگانه)	سیستم‌های جدید: ابرو، ساحل ناتال، نیتینات. سیستم‌های دیرینه: بوتانو، اورست، گوترو، پابده ^۴ .	سیستم‌های دیرینه: تای، سن لوکاس. سیستم‌های دیرینه: مانیلیجا، کمپوس.	سیستم دیرینه: بلانکا.
پیشانی شب (منشا خطی)	سیستم‌های جدید: برآمدگی‌های نوا-اسکوتیا، جنوب باختری و شمال باختری آفریقا. سیستم دیرینه: مجتمع‌الجزایر گال	سیستم‌های دیرینه: آلب، هارلیو	سیستم‌های دیرینه: توکاوا

جدول ۶. تفاوت‌های کلی و نسبی بین سیستم‌های توربیدایتی غنی از ماسه دانه‌درشت و غنی از گل دانه‌ریز (بوما، ۲۰۰۰).

انواع عوامل کنترل کننده	سیستم‌های غنی از ماسه دانه‌درشت	سیستم‌های غنی از گل دانه‌ریز
تأثیر زمین ساخت بر حوضه	زیاد	کم
مکان حوضه دریافت کننده	عموماً در پوسته قاره‌ای	عموماً در پوسته اقیانوسی
اندازه حوضه	اغلب متوسط تا کوچک	اغلب متوسط تا بسیار بزرگ
طول انتقال قاره‌ای	نسبتاً کوتاه	طويل
پهنا و نوع دشت ساحلی	باریک: کوهستانی به طور عادی باریک	پهن و مسطح به طور عادی پهن
پهنهای شلف	متوسط تا کوچک	بزرگ
حجم رسوبات ورودی	زیاد	نسبتاً کم
نسبت ماسه/رسوبات ورودی	ماسه متوسط و بزرگ‌تر	ماسه ریز و کوچک‌تر
عمده اندازه ذرات ورودی	بدون تاثیر	مؤثر
انواع انتقال حوضه‌ای	سبیت پیش‌رونده	سبیت عموری ^۱
نوع سیستم رسوی	ممولاً کوچک	ممولاً متوسط تا بزرگ
اندازه جریان‌های گرانشی	نازک	متوسط تا ضخیم
ضخامت شبل بین سیستم‌های توربیدایتی	زیاد	کم تا متوسط
نسبت ماسه/شبل سیستم‌های توربیدایتی جدابه	زیاد	زیاد
نسبت ماسه/شبل ریزش‌های عمدۀ	کم تا خوب	عالی
پایداری کانال‌های عمدۀ	کم	خوب
اندازه کانال‌های اصلی	متوسط تا کوچک	بزرگ
تعداد انشعابات درهای	کم	یک تا چند
نوع سیستم تغذیه‌کننده	درهای	دلتایی
توسعه خاکریزها	متوسط تا خوب	خوب
انواع رسوبات خاکریزها	ماسه‌های لایه‌ای و مقداری سیلت	ماسه-گل نازک‌کلاهه
ساخت‌های رسوبی در خاکریزها	لامیناسیون موازی، ریپل جریانی و ریپل‌های روزانه	لامیناسیون موازی، ریپل جریانی و ریپل‌های روزانه
نوع رسوبات مناطق سریز	ماسه، ماسه گلی یا سیلتی	گل ماسه‌ای
رسوبات اصلی بخش مخروط تحتانی	ماسه	ماسه
شانس رخنمنو یافتن مخروط	نسبتاً خوب	ضعیف
نسبت ماسه/شبل در قاعده شب	زیاد	زیاد
نسبت ماسه/شبل در مخروط میانی	زیاد	کم
نسبت ماسه/شبل در مخروط خارجی	کم	زیاد
جهت جریان‌های گرانشی	چرخش موازی به ساحل	غالباً به سوی بخش‌های دور از ساحل
تأثیر نوسانات سطح آب	کم تا متوسط	متوسط تا زیاد
نوع پرشدنگی دره	غنی از ماسه یا گل	ممولاً گل

¹ Bypassing system

شوند (نصیری و همکاران، ۱۳۹۲). این چرخه‌های رسوبی نشان‌دهنده توالی بوما هستند (شکل ۸). همچنین محسنی و همکاران (۱۳۹۲) شواهد رسوبی جریان‌های توربیدیاتی سازند ایران در جنوب باختر گستره لرستان را نیز گزارش کردند.

همچنین، سروانی و همکاران (۱۳۹۶) بر اساس مشاهدات صحرایی و آنالیز ریزرسارهای در بررش نمونه سازند پابده (تاقدیس کوه گورپی، گستره خوزستان) تاثیر جریان‌های توربیدیاتی در تنشست بخشی از سازند پابده در بخش ژرف حوضه رسوبی را تایید نموده‌اند. آن‌ها وجود ساخت رسوبی ریزش و لغش^۶ (شکل ۹) و آمیختگی فسیل‌های پلانکتونیک و خردۀای شکسته فسیل‌های کفزی را از ویژگی‌های برجسته این رخساره‌ها معرفی کردن. در ضمن، نقش جریان‌های توربیدیاتی در نهشته‌شدن بخشی از سازند کربناته پابده (شمال باختر حوضه زاگرس- گستره ایلام) با توجه به ویژگی‌های رسوبی مشاهده شده (واحدهای توالی بوما- سطوح تختانی فرسایشی، دانه‌بندی تدریجی نرمال، قطعات مادستون آهکی در ریزرساره پکستون، آرایش موازی^۷ قطعات فسیلی در ریزرساره مادستونی و ریپل مارک جریانی) به اثبات رسیده است (شکل ۱۰) (بهبهانی و همکاران، ۱۳۹۰).

محسنی و جوانمرد (۱۳۹۷)، شواهدی از جریان‌های توربیدیاتی را در بخشی از سازند سروک (برش‌های تنگ باولک و شاهنخجیر- گستره ملکشاهی در استان ایلام) در محیط‌رسوبی شبیه قاره و حوضه ژرف ارائه دادند. همراهی اجزای فرسایش‌یافته و گردشده با منشاء‌های متفاوت (مرتبط با مناطق کم‌ژرف و ژرف) با رسوبات پلاژیک، وجود کanal با لایه‌های روهم‌پوشان^۸، جهت‌یافتنی رسوبات بستر کanal، مرز ناگهانی و فرسایشی با رسوبات زیرین و وجود بخش‌های گوناگون توالی‌های بوما و مایسختر همگی نشان‌دهنده نهشته‌های توربیدیاتی در این سازند می‌باشد (شکل ۱۱).

توربیدیات‌های غنی از ماسه دانه‌درشت معمولاً در حوضه‌های کوچک در پوسته قاره‌ای با مسافت کوتاه انتقال مواد خشکی‌زی^۱، شلف باریک، منشا دره‌ای^۲ و سبک رسوبی پیش‌رونده^۳ بوجود می‌آیند (بوما، ۲۰۰۰). در مقابل، توربیدیات‌های غنی از گل دانه‌ریز در حوضه‌های بزرگ در حاشیه‌های غیر فعال با مسافت زیاد انتقال مواد خشکی‌زی، شلف عریض، منشا دلتایی و دارای انتقال موثر حوضه‌ای در نتیجه عبور^۴ مقدار زیادی از ذرات در اندازه ماسه به بخش خارجی مخروط^۵ یافت می‌شوند (بوما، ۲۰۰۰). همچنین از ترکیب این دو نوع سیستم، سیستم‌های توربیدیاتی غنی از ماسه دانه‌ریز در حوضه تگزاس باختり مشاهده شده است (استلتینگ و همکاران، ۲۰۰۰). لازم به ذکر است که افزوده شدن مقادیر کمی از رسوبات دانه‌ریز به یک جریان گرانشی غنی از ماسه، تاثیر برجسته‌ای بر افزایش سرعت جریان دارد (گلداستون، ۱۹۹۸). بنابراین، یک پژوهش‌گر بایستی ایده چگونگی استفاده از انواع ترکیبی سیستم‌های توربیدیاتی را داشته باشد.

۴-۸- مثال‌هایی از نهشته‌های توربیدیاتی در ایران
در بخشی از نهشته‌های آواری میوسن حوضه رسوبی زاگرس (گستره نیریز- برش‌های کوه آسکی و هورگان)، ماسه‌سنگ‌های توده‌ای ورقه‌ای شکل با دانه‌بندی تدریجی عادی با قاعده تخریبی، به سوی بالا ریزشونده، دارای ساختارهای وزنی در قاعده و قطعات گلی در قاعده و درون این ماسه‌سنگ‌ها به رسوبات جریان‌های توربیدیاتی نسبت داده شده است (غلامی‌زاده و همکاران، ۱۳۹۵).
بررسی‌های صحرایی در توالی‌های آواری- کربناته سازند امیران (حوضه زاگرس- گستره لرستان) نشان‌دهنده تاثیر جریان‌های توربیدیاتی در نهشته‌شدن بخش آواری آن در محیط شبیدار و مخروطهای زیردریایی می‌باشد (نصیری و همکاران، ۱۳۹۲). وجود چرخه‌های رسوبی ریزشونده عمده‌تا با اندازه کمتر از ۱ متر از پایین به بالای توالی به ترتیب دارای فلوت‌کست و دانه‌بندی تدریجی در بخش قاعده‌ای (*Ta*، لامینه‌های موازی)، لامینه‌های مورب (*Tc*) و در انتهای رسوبات گلی (*Td*) ختم می-

¹ Terrestrial

² Canyon-sourced

³ Progradational depositional style

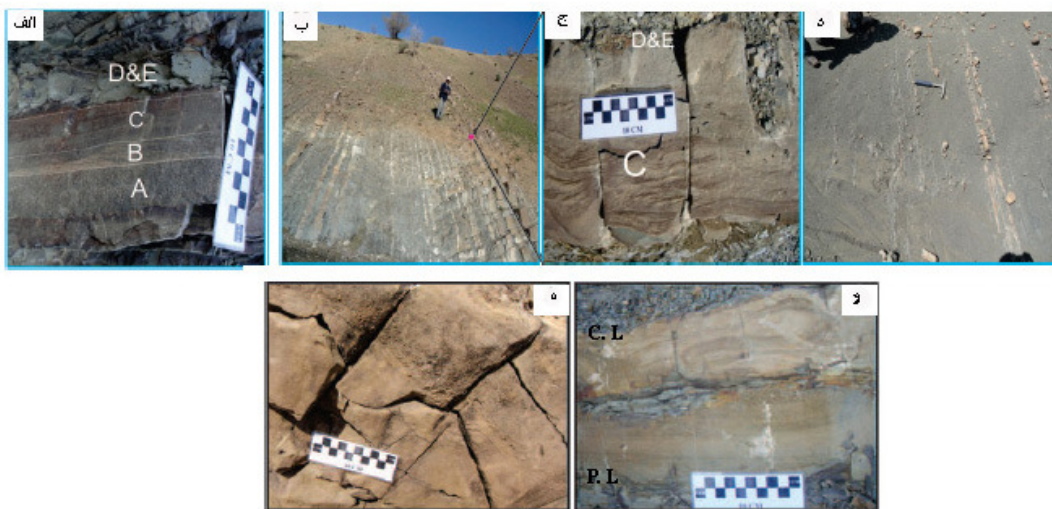
⁴ Bypass

⁵ Outer fan

⁶ Slump

⁷ Parallel alignment

⁸ Onlap



شکل ۸. نهشته‌های توربیدایتی بخش آواری سازند امیران در جنوب باخته گستره لرستان (نصیری و همکاران، ۱۳۹۲). (الف) چرخه توالي بوما. (ب) توربیدایت‌های متوسط‌لايه همراه با واحدهای Ta و Td . (ج) توربیدایت‌های نازک‌لايه با لايدهای شيلی و سيلتي دانه‌ريز. (د) دانه‌بندی تدریجي در واحد Ta توالي بوما. (ه) لامينه‌های موازي (P) و پیچیده (C , L) در واحدهای Tc و Tb توالي بوما.



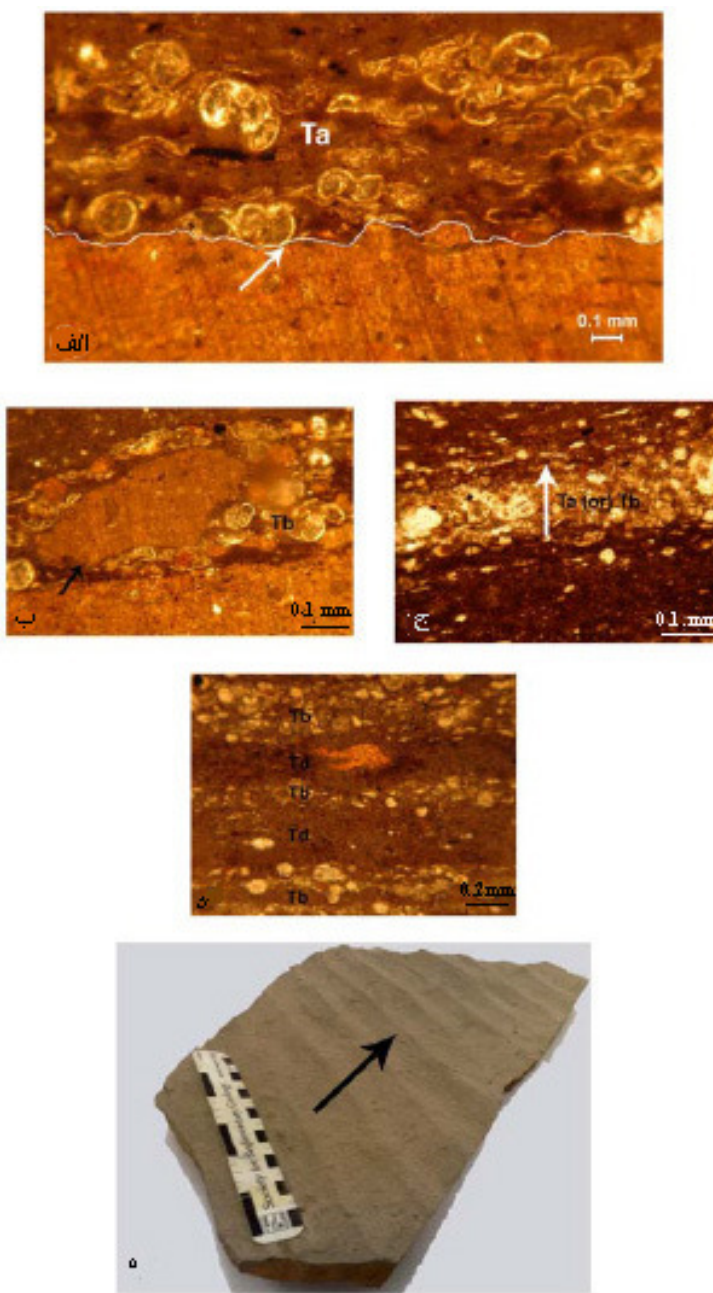
شکل ۹. ساختار ريزش و لغزش در سنگ‌آهک‌های سازند پابده در برش نمونه (سروانی و همکاران، ۱۳۹۶). به موازي بودن لايهها در بخش فوقاتی اين واحد ريزشي (سمت چپ تصوير) توجه شود.

درشت‌تر به سوي مناطق با تنش برشی کم‌تر (مناطق در حاشیه جريان) حرکت می‌کنند و ساخت دانه‌بندی تدریجي معکوس را بوجود می‌آورند. اين نوع جريان‌ها، عموماً داراي قطعات بزرگ جدا شده هستند که در بخش فوقاني يا حاشيء جريان حرکت می‌کنند. طبقه‌بندی ساده و مورد پذيرish اكثراً پژوهش‌گران برای جريان‌های گرانشي رسوبي بر مبنای نوع جريان و تغيير شكل آن است. جريان‌های توربیدایتی سيال نيوتونی هستند، در حالی که جريان‌های خرده‌دار جز اين‌گونه سيال‌ها نيستند. جريان‌های خرده‌دار به دو دسته چسبنده (پلاستيك بينگهام غيرنيوتوني) و غير‌چسبنده (سيال رقيق‌شده غير نيوتوني) تقسيم می‌شوند.

نتيجه‌گيري
در جريان‌های گرانشي رسوبي، انتقال ذرات در نتيجه مقاومت ماتريکس يا نيريوي شناوري است. در مقادير نسبتاً پايين غلطت رسوبات، جريان بدون چسبنده‌گي و با آشفتگي داخلی بوجود می‌آيد. لاميناسيون خام با جهت‌يافتگي فلسي قطعات از نتيجه اين نوع جريان‌ها است. اين جريان‌ها، فرساينده و انواع ساختهای خفرشده قاعده‌ای^۱ را بوجود می‌آورند. در مقادير بالاتر غلطت رسوبات (بيش از ۴۰ درصد) جريان‌های با غلطت بسيار بالا^۲ بوجود می‌آيد. تنش برشی بوسيله فشار پراكنده کننده ذرات در جريان انتقال داده می‌شود. ذرات دانه

^۱ Basal scour

^۲ Hyperconcentrated flows



شکل ۱۰. ریزرساره‌های توربیدیاتی آهکی سازند پابده در گستره ایلام (بهبهانی و همکاران، ۱۳۹۰). (الف) ریزرساره پکستون بیوکلاستی با قاعده فرسایشی (علامت پیکان) که نشان‌گر واحد *Ta* توالی بوما است. (ب) قطعات مادستون در ریزرساره پکستون (علامت پیکان) (واحد *Tb* توالی بوما). (ج) ساخت دانه‌بندی تدریجی نرمال در ریزرساره پکستون بیوکلاستی (واحد *Ta* یا *Tb*) توالی بوما. (د) آرایش موازی قطعات فسیلی در ریزرساره مادستونی (واحدهای *Td* و *Tb* توالی بوما). (ه) ریلی مارک جریانی. علامت پیکان جهت جریان دیرینه را نشان می‌دهد.

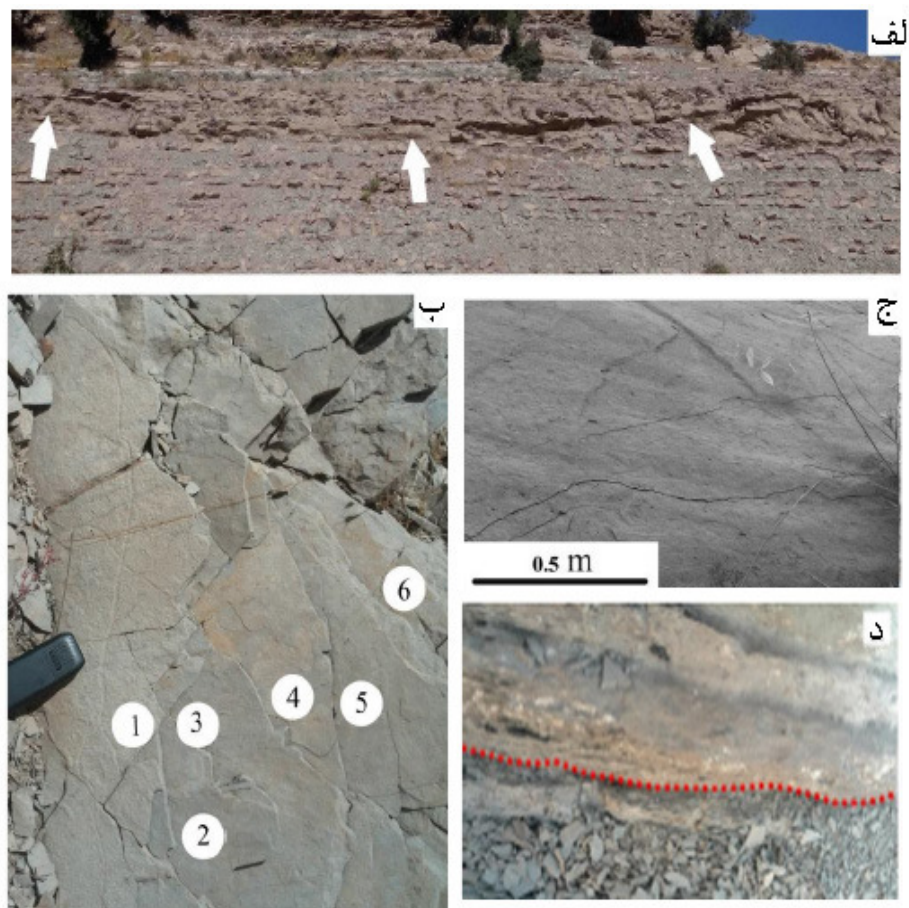
دنسیت نامیده می‌شوند. شناسایی نوع و تغییر شکل جریان از نهشته‌های پیشین به سادگی امکان‌پذیر نیست. با این وجود، برخی عوارض رسوبی تشخیصی برای تمایز بین توربیدیاتها، دنسیت‌ها و دبریت‌ها (نهشته‌های خرددار) وجود دارد. به منظور پرهیز از گمراهی، اگر به هر دلیلی امکان تشخیص نوع نهشته‌های جریان‌های

برخی جریان‌های گرانشی رسوبی دارای طبیعت دوگانه هستند. بخش تحتانی آن‌ها از سیال غیرنیوتونی و بخش فوقانی آن‌ها از سیال نیوتونی تشکیل شده‌اند. این نوع از جریان‌ها به عنوان جریان‌های متراکم^۱ و رسوبات آن‌ها

^۱ Dense flows

صحراي (نظير نسبت توربيدايتها و نهشته‌های پلازيك، شکل هندسي توربيدايتها و بخش تحتاني و فوقياني طبقات توربيدايتی)، توالي داخلي (نظير وجود توالي بوما/مايسخنر، وجود دانه‌بندی تدريجي و معكوس و لاميناسيون ريبلي و پيچيده)، اندازه ذرات (ميanganin اندازه ذرات) و ريزرخساره‌ها از جمله شاخص‌های مهم تمایز توربيدايت‌های آهکی نزدیک و دور از منشا می‌باشند. هم‌چنان سیستم‌های توربيدايتی دیرینه و جدید بر مبنای اندازه ذرات به سیستم‌های غنی از گل، غنی از گل- ماسه، غنی از ماسه و غنی از گراول و بر اساس سیستم‌های تغذیه‌کننده به انواع خطی، چندگانه و نقطه‌ای طبقه‌بندی می‌شوند.

گرانشی رسوی امكان‌پذیر نبود از واژه گراویت (رسوبات جريان گرانشی) برای اين نوع نهشته‌ها استفاده می‌شود. توالي‌های بوما و مايسخنر (واحدهای رسوی منظم که توسط ساخته‌های رسوی خاص مشخص می‌شوند)، ساخته‌های رسوی نظير دانه‌بندی تدريجي، لاميناسيون و علائم سطح زيرين لايه و وجود فسيل‌های نابرجا از ويژگی‌های تشخيصي مهم نهشته‌های توربيدايتی هستند. تنوع بيشتر ذرات، قطعات سنگي فراوان‌تر، فقدان توالي كامل بوما، توزيع بايمدال قطعات به دو صورت قطعات سنگي و خرده‌های فسيلي، فقدان ساخته‌های رسوی نظير قالب وزني و فلوت‌کست در توربيدايت‌های آهکی نسبت به توربيدايت‌های آواری از جمله مهم‌ترین تفاوت‌های اين دو نوع توربيدايت می‌باشد. ويژگی‌های



شکل ۱۱. ويژگی‌های نهشته‌های توربيدايتی در سازند سروک در برش تنگ باولک در گستره ايلام (محسنی و جوانمرد، ۱۳۹۷). (الف) کانال توربيدايتی. پيکان‌ها قاعده کانال را نشان می‌دهند. (ب) لاميناسيون موازي در زون ۲ بخش A توالي توربيدايتی مايسخنر. اعداد ۱ تا ۶ شماره لامينه‌ها را نشان می‌دهد. (ج) لاميناسيون ريبلي (ريبل مارك). (د) بستر نامنظم و موجي کانال توربيدايتی.

- Berra, F (2007) Sedimentation in shallow to deep water carbonate environments across a sequence boundary: effects of a fill in sea-level on the evolution of a carbonate system (Ladinian-Carnian, eastern Lombardy, Italy). *Sedimentology*, 54: 721-735.
- Betzler, C., Brachert, T. C., Kroon, D (1995) Role of climate in partial drowning of the Queensland plateau carbonate platform (northeastern Australia). *Marine Geology*, 123: 11-32.
- Bouma, A. H (1962) *Sedimentology of some flysch deposits: a graphic approach to facies interpretation*, Elsevier, Amsterdam, 168 pp.
- Bouma, A. H (2000) Fine-grained, mud-rich turbidite systems: model and comparison with coarse-grained, sand-rich systems. In: Bouma, A. H., Stone, C. G (eds.), *Fine-grained turbidite systems*. AAPG Memoir 72/SEPM Special Publication 68, p. 9-19.
- Bouma, A. H., Normark, W. R., Barnes, N. E (1985) *Submarine fans and related turbidite systems*. Springer-Verlag, New York, 351 pp.
- Bouma, A. H., Stone, (eds.) (2000) *Fine-grained turbidite system*. American Association of Petroleum Geologists, Memoir 72, 342 pp.
- Bromley, R. G (1990) *Trace fossils: biology and taphonomy*. Academic Division of Unwin Hyman Ltd., Boston, 280 pp.
- Burg, J. P., Dolati, A., Bernoulli, D., Smit, J (2012) Structural style of the Makran Tertiary accretionary complex in SE Iran. In: Al-Hosani, K., Roure, F., Ellison, R., Lokier, S., (eds.), *Lithosphere dynamics and sedimentary basins: the Arabian Plate and analogues*. Springer-Verlag, Heidelberg, p. 239-259.
- Cantalejo, B., Pickering, K. T (2014) Climate forcing of fine grained deep-marine system in an active tectonic setting: Middle Eocene, Ainsa Basin, Spanish Pyrenees. *Palaeo*, 410: 351-371.
- Coniglio, M., Dix, G. R (1992) Carbonate slopes. In: Walker, R. G., James, N. P., (eds.), *Facies models: response to sea level change*. Geological Association of Canada, p. 349-374.
- Corella, J. P., Loizeau, J. L., Kremer, K., Hilb, M. and et al (2016) The role of mass-transport deposits and turbidites in shaping modern lacustrine deepwater channels, *Marine and Petroleum Geology*, 77: 515-525.
- Dolati, A (2010) Stratigraphy, structural geology and low-temperature thermochronology across the Makran accretionary wedge in Iran. PHD thesis, Swiss Institute of Technology, Zurich, 311 pp.
- Dott, R. H (1963) Dynamics of subaqueous gravity depositional processes. *American Association of Petroleum Geologists, Bulletin*, 47: 104-128.
- Eberli, G. P (1987) Calcareous turbidites and their relationship to sea-level fluctuations and

منابع

- بهبهانی، ر.، محسنی، ح.، خدابخش، س.، آتشمرد، ز (۱۳۹۰) شواهد رسوبات توفانی و توربیدیاتی در سازند پابده، شمال و جنوب باختر حوضه زاگرس. پژوهش‌های چینه‌نگاری و رسوب‌شناسی، شماره ۴۲، ص ۷۳-۹۶.
- سراوانی، س.، گرگیج، م. ن.، قماشی، م.، احمدی، ع (۱۳۹۶) تجزیه و تحلیل ریزرسارهای، محیط‌های رسوبی و چینه‌نگاری سکانسی سازند پابده در برش نمونه، زاگرس. پژوهش‌های چینه‌نگاری و رسوب‌شناسی، شماره ۵۹، ص ۶۹-۱۰۴.
- غلامی‌زاده، پ.، آدابی، م. ح.، حسینی‌برزی، م.، صادقی، ع.، قاسمی، م. ر (۱۳۹۵) بازسازی محیط رسوبی نهشته‌های آواری میوسن حوضه رسوبی زاگرس در برش‌های کوه آسکی و هورگان، گستره نیریز، حوضه زاگرس. *فصلنامه علوم زمین*، شماره ۱۰۱، ص ۲۳-۳۴.
- محسنی، ح.، جوانمرد، ر.، (۱۳۹۷) ریزرسارهای و محیط رسوبی سازند سروک در برش تنگ باولک و شاهنخجیر، شهرستان ملک‌شاهی (ایلام). پژوهش‌های چینه‌نگاری و رسوب‌شناسی، شماره ۷۱، ص ۴۳-۶۸.
- محسنی، ح.، طولابی، م.، یوسفی‌یگانه، ب.، خدابخش، س (۱۳۹۲) شواهد رسوبی جریان توربیدیاتی در سازند امیران در جنوب باختر لرستان. هدفهای همایش انجمن زمین‌شناسی ایران، دانشگاه شهید بهشتی، ۹، ص. نصیری، ی.، محبوی، ا.، موسوی حرمی، ر.، خزایی، ا. ر.، یوسفی‌یگانه، ب (۱۳۹۲) بازسازی محیط رسوبی رسوبات سیلیسی آواری-کربناته سازند امیران (کرتاسه بالای-پالئوسن) در جنوب‌باختر لرستان. *فصلنامه زمین‌شناسی ایران*، شماره ۲۷، ص ۵۵-۷۴.
- Abdi, A., Mahmudi-Gharraie, M. H., Badenas, B (2014) Internal wave deposits in Jurassic Kermanshah pelagic carbonates and radiolarites (Kermanshah area, West Iran). *Sedimentary Geology*, 314: 47-59.
- Allen, P. A (1997) *Earth surface processes*. Blackwell, London, 404 pp.
- Alvarez, M. I. D. P., Alonso, J. L., Fernandez, L. P (2019) Gravity driven structures and deposits resulting from slope collapse in the margin of a carbonate platform (NW Iberia). *Journal of Structural Geology*, 119: 15-32.
- Baas, J. H (2004) Conditions for formation of massive turbiditic sandstones by primary depositional processes. *Sedimentary Geology*, 166: 293-310.
- Baas, J. H., Best, J. L (2002) Turbulence modulation in clay-rich sediment laden flows and some implications for sediment deposition. *Journal of Sedimentary Research*, 72: 336-340.

- Ito, M (2019) Lithofacies architecture of gravel-wave deposits: insights into the origins of coarse-grained gravity-flow deposits. *Sedimentary Geology*, 382: 35-46.
- Kneller, B. C., and Branney, M. J (1995) Sustained high-density turbidity currents and the deposition of thick massive sands. *Sedimentology*, 42: 231-258.
- Liu, F., and et al (2015) Sedimentary characteristics and facies model of gravity flow deposits of Late Triassic Yan-Chang Formation in Southwest in Ordos Basin, NW China. *Petroleum Exploration and Development*, 42: 633-645.
- Lowe, D. R (1982) Sediment gravity flows, II. Depositional models with special reference to the deposits of high-density turbidity currents. *Journal of Sedimentary Petrology*, 52: 279-297.
- Lowe, D. R., Guy, M (2000) Slurry-flows deposits in the Britanian Formation (Lower Cretaceous), North Sea: a new perspective on the turbidity current and debris flow problem. *Sedimentology*, 47: 31-70.
- Miall, A. D (2006) The geology of fluvial deposits: sedimentary facies, basin analysis, and petroleum geology (4th edition). Springer, Berlin, 582 pp.
- Middleton, G. V., Hampton, M. A (1973) Sediment gravity flows: mechanics of flow and deposition. In: Middleton, G. V., Bouma, A. H., (eds.), *Turbidites and deep water sedimentation. Proceedings of Pacific Section Society of Economic Paleontologists and Mineralogists*, Los Angeles, p. 1-38.
- Mohammadi, A., Burg, J. P., Bouilhol, P., Ruh, J (2016) U-Pb geochronology and geochemistry of Zahedan and Shah-Kuh plutons, southeast Iran: implication for closure South Sistan suture zone. *Lithos*, 248 (251): 293-308.
- Mohseni, H., Behbahani, R., Khodabakhsh, S., Atashmar, Z (2011) Depositional environments and trace fossil assemblages in the Pabdeh Formation (Paleogene), Zagros Basin, Iran. *N. Jb. Geol. Palaeont. Abh*, 262: 59-77.
- Mulder, T., Syvitski, J. P. M., Migeon, S., Faugeres, J. C., Savoye, B (2003) Marine hyperpycnal flows: initiation, behavior and related deposits, a review. *Marine and Petroleum Geology*, 20: 861-882.
- Mutti, E (1992) Turbidite sandstones. Special Publication, Agip, Milan, 275 pp.
- Mutti, E., Normark, W. R (1991) An integrated approach to the study of turbidite systems. In: Weimer, P., Link, M. H., (eds.), *Seismic facies and sedimentary processes of submarine fans and turbidite systems*. Springer-Verlag, New York, p. 75-106.
- tectonism. In: Einsele, G., Ricken, W., Seilacher, A., 1991, (eds.), *Cycles and events in stratigraphy*. Springer-Verlag, Berlin, p. 340-359.
- Everts, A. J. W (1991) Interpreting compositional variations of calciturbidites in relation to platform stratigraphy: an example from the paleogene of SE Spain. *Sedimentary Geology*, 71: 231-242.
- Everts, A. J. W., Schalger, W., Reijmer, J. J. G (1999) Carbonate platform to basin correlation by means of grain composition logs: an example from the Vercors (Cretaceous, SE France). *Sedimentology*, 46: 261-278.
- Fan, A., Yang, R., Van-Loon, A. J., Yin, W., Han, Z., Zavala, C (2018) Classification of gravity-flow deposits and their significance in unconventional petroleum exploration, with a case study from the Triassic Yanchang Formation (China). *Journal of Asian Earth Sciences*, 161: 57-73.
- Floquet, M., Hennuy, J (2003) Evolutionary gravity flow deposits in the Middle Turonian-Early Coniacian Southern Provence Basin (SE France): Origins and depositional processes. In: Locat, J., Mienert, J. (eds.), *submarine mass movements and their consequences 19*. Kluwer Academic Publishers, Dordrecht, the Netherlands, p. 417-424.
- Flügel, E (2010) *Microfacies of carbonate rocks: analysis, interpretation and application (2nd edition)*. Springer-Verlag, Berlin, Heidelberg, 984 pp.
- Gani, M. R (2003) Crisis for a general term referring to all types of sediment gravity flow deposits: grevite. *Geological Society of America, Abstracts with Programs*, 34: 171.
- Gani, M. R (2004) From turbid to lucid: a straightforward approach to sediment gravity flows and their deposits. *The Sedimentary Record*, 2: 4-8.
- Gladstone, C., Phillips, J. C., Sparks, R. S. J (1998) Experiments on bidisperse, constant-volume gravity currents: propagation and sediment deposition. *Sedimentology*, 45: 833-843.
- Groen, R. D (2008) Origin of tectonically induced calcite debris flows (Cretaceous, Southern Provence Basin, France). (Bachelor thesis) VU University Amsterdam, Amsterdam, 33 pp.
- Hampton, M. A (1975) Competence of fine-grained debris flows. *Journal of Sedimentary Petrology*, 45: 834-844.
- Horikawa, K., Ito, M (2009) Non-uniform across-shelf variations in thickness, grain size, and frequency of turbidites in a transgressive outer-shelf, the Middle Pleistocene Kakinokidai Formation, Boso Peninsula, Japan. *Sedimentary Geology*, 220: 105-115.

- turbidite lobe (barremian-Aptian, Pas-de-La-Cluse, France), *Sedimentary Geology*, 168: 281-304.
- Shanmugam, G (1996) High-density turbidity currents: are they sandy debris flows? *Journal of Sedimentary Research*, 66: 2-10.
- Shanmugam, G (1997) The bouma sequence and the turbidite mind set. *Earth Science Reviews*, 42: 201-229.
- Shanmugam, G (2012) Bottom-current reworked sands. In: Shanmugam, G., (eds.), new perspectives on deep-water sandstones: origin, recognition, initiation, and reservoir quality. Elsevier, Amsterdam, p.129-219.
- Stelting, Ch. E., Bouma, A. H., Stone, Ch. G (2000) Fine-grained turbidite systems: overview. In: Bouma, A. H., Stone, C. G (eds.), Fine-grained turbidite systems. AAPG Memoir 72/SEPM Special Publication, 68: 1-8.
- Tinterri, R., Drago, M., Consonni, A., Davoli, G., Mutti, E (2003) Modeling subaqueous bipartite sediment gravity flows on the basis of outcrop constraints: first results. *Marine and Petroleum Geology*, 20: 911-933.
- Tucker, M. E (1994) *Sedimentary Petrology* (2nd edition). Blackwell, 272 pp.
- Williams, G. P (1967) Flume experiments on the transport of a coarse sand: sediment transport in alluvial channels. Geological Survey Professional Paper 562-B, United States Government Printing Office, Washington, 31 pp.
- Yang, P., et al (2017) Lithofacies and origin of the Late Triassic muddy gravity-flow deposits in the Ordos Basin, Central China. *Marine and Petroleum Geology*, 85: 194-219.
- Zavala, C., Arcuri, M (2016) Intrabasinal and extrabasinal turbidites: origin and distinctive characteristics. *Sedimentary Geology*, 337: 36-54.
- Nichols, G (2009) *Sedimentology and stratigraphy* (2nd edition). Chichester, UK; Blackwell Science, 432 pp.
- Payros, A., Pujalt, v (2001) Calciclastic submarine fans: an integrated overview. *Earth Science Reviews*, 86: 203-246.
- Pickering, K. T., Corredor, J (2005) Mass-transport complexes and tectonic control on basin floor submarine fans, Middle Eocene, South Spanish Pyrenees. *Journal of Sedimentary Research*, 75: 761-783.
- Quiquez, A., Sarih, S., Allemand, P., Garcia, J. P (2013) Fault rate controls on carbonate gravity-flow deposits of the Liassic of central High Atlas (Morocco). *Marine and Petroleum Geology*, 43: 349-369.
- Ragusa, J., Kindler, P (2018) Compositional variations in deep-sea gravity flow deposits. A case study from the Voiron Flysch (France). *Sedimentary Geology*, 377: 111-130.
- Reading, H. G., Richards, M (1994) turbidite systems in deep water basin margins classified by grain size and feeder system. *AAPG Bulletin*, 78: 792-822.
- Reijmer, J. J. G (1998) Compositional variations during phases of progradation and retrogradation of a Triassic carbonate platform (Picco di Vallandro/Durrenstein, Dolomites, Italy). *Geoloische Rundschau*, 87: 436-448.
- Reijmer, J. J. G., Palmieri, P., Groen, R (2012) Compositional variations in calciturbidites and calcidebrrites in response to sea level fluctuations (Exuma Sound, Bahamas). *Facies*, 58 (4): 493-507.
- Reijmer, J. J. G., Pamieri, P., Groen, R., Floquet, M (2014) Calciturbidites and calcidebrrites: Sea-level variations or tectonic processes?. *Sedimentary Geology*, 317: 53-70.
- Reijmer, J. J. G., Schalger, W., Bosscher, H., Beets, C. J., Mc Neill, D. F (1992) Pliocene/Pleistocene platform facies transition recorded in calciturbidites (Exuma Sound, Bahamas). *Sedimentary Geology*, 78: 171-179.
- Rubert, Y., Jati, M., Loisy, C., Cerepi, A., Foto, G., Muska, K (2012) Sedimentology of resedimented carbonates: facies and geometrical characterisation of an upper Cretaceous calciturbidite system in Albania. *Sedimentary Geology*, 257 (260): 63-77.
- Sanders, J. E (1965) Primary sedimentary structures formed by turbidity currents and related resedimentation mechanisms, In: Middleton, G. V., (eds.), Primary sedimentary structures and their hydrodynamic interpretation. Society of Economic Paleontologists and Mineralogists Special Publication, 12: 192-219.
- Savary, B., Ferry, S (2004) Geometry and petrophysical parameters of a calcarenitic

Analysis of sediment gravity flows with special view on turbidites

R. Behbahani

Dept., of Geology, Faculty of sciences, Bu Ali-Sina University, Hamedan

* rezabehbahani30@yahoo.com

Received: 2019/2/26 Accepted: 2020/1/15

Abstract

Sediment gravity flows are categorized based on combination of five parameters: sediment concentration, sediment-support mechanism, flow state (laminar or turbulent) and rheology (flow type and its deformation). Except for rheology, all of these parameters change gradationally from one member to another. Therefore, rheological classification of sediment gravity flows should be the most straightforward and the least controversial. These flows can be either Newtonian (i.e., turbidity currents), or non-Newtonian (i.e., debris flows). However, identification of flow rheology by examining the deposits may not be easy. Although we may confidently identify some rocks as turbidites and others as debrites, there are some transitional deposits, here called densites. Densites share both the characteristics of turbidites and debrites. Densites are the deposits of dense flows, which are rheologically stratified flows having a composite rheology of Newtonian fluids and non-Newtonian fluids. The term gravite is proposed for deposits of any kind of sediment gravity flow, irrespective of their depositional environment. Nowadays, turbidity currents only for sediment gravity flows with Newtonian rheology. These types of currents with Newtonian rheology, unlike other currents, should produce a diagnostic distribution grading (due to differential grain settling) from the bottom to the top of the deposits (i.e., Bouma sequence). Turbidite systems are classified based on grain size (mud-rich, mud/sand-rich, sand-rich and gravel-rich), sediment composition (calciturbidite and siliciclastic turbidite) and feeder system (submarine fan with point source, ramp with multiple source and slope apron with linear source). Fine-grained, mud-rich turbidite systems mainly occur in basins with a large fluvial input. The calciturbidites and siliciclastic turbidites in Iran can be named Pabdeh and Sarvak Formations (Zagros Basin), terrigenous part of Amiran Formation and Miocene siliciclastic deposits, respectively.

Keywords: Sediment gravity flows, Turbidite, Densite, Debrite, Gravite.